



*36° Convegno Nazionale  
Trieste 14-16 novembre 2017*



# Crio-geofisica

Alberto Godio  
DIATI – Politecnico di Torino



*36° Convegno Nazionale  
Trieste 14-16 novembre 2017*

## Contenuti

---

- Significato degli studi della criosfera per l'identificazione del rischio dovuto al collasso in ambienti glaciali e glacializzati
- Panoramica delle ricerche/studi in ambienti glaciali
- Analisi di casistica di studio in ambiente alpino
- Integrazione con gli studi glaciologici



*36° Convegno Nazionale  
Trieste 14-16 novembre 2017*



## Perché voler conoscere i ghiacciai ...

---

1. La morfologia, i ghiacciai come modellatori vallivi
2. Ghiacciaio come risorsa idrica e come risorsa idroelettrica..
3. Ghiacciai come indicatori di mutamenti climatici, molto sensibili
4. Identificazione del Rischio in alta quota (crolli in roccia, flooding, laghi effimeri, crolli di ghiaccio...)



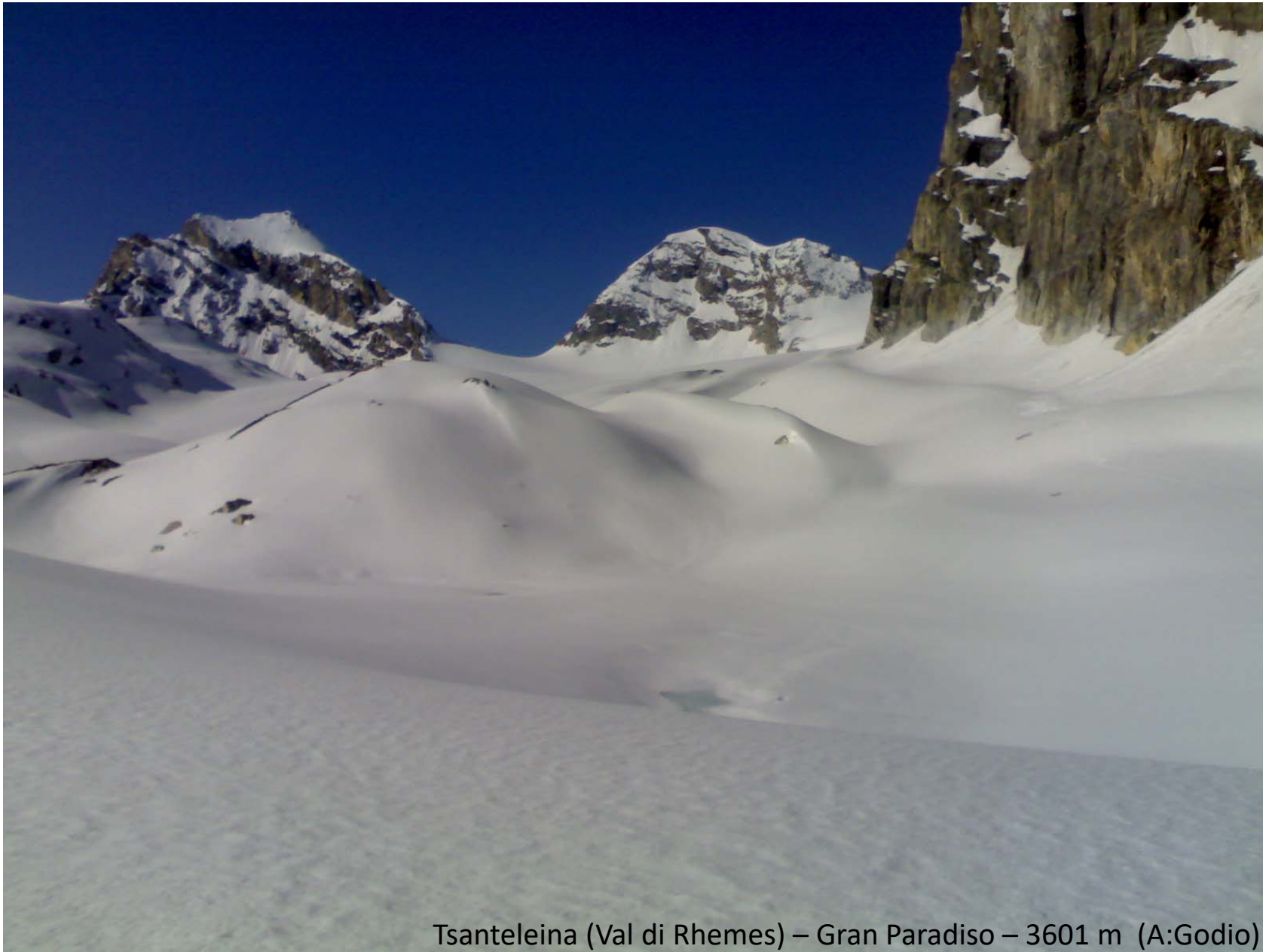
Cortesia M. Diordiejvic



Alpamayo Cordigliera Blanca – Ande Peruviane – 5950 m

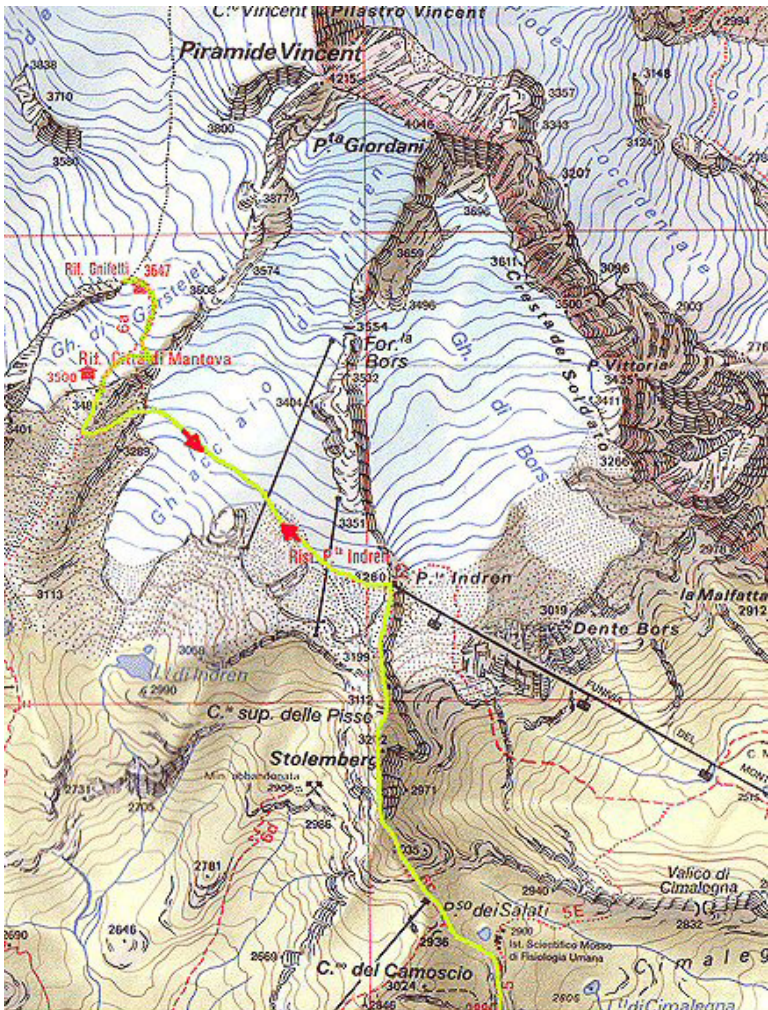


Plateau Rosà - Monte Rosa - Cortesia G. Zanetti

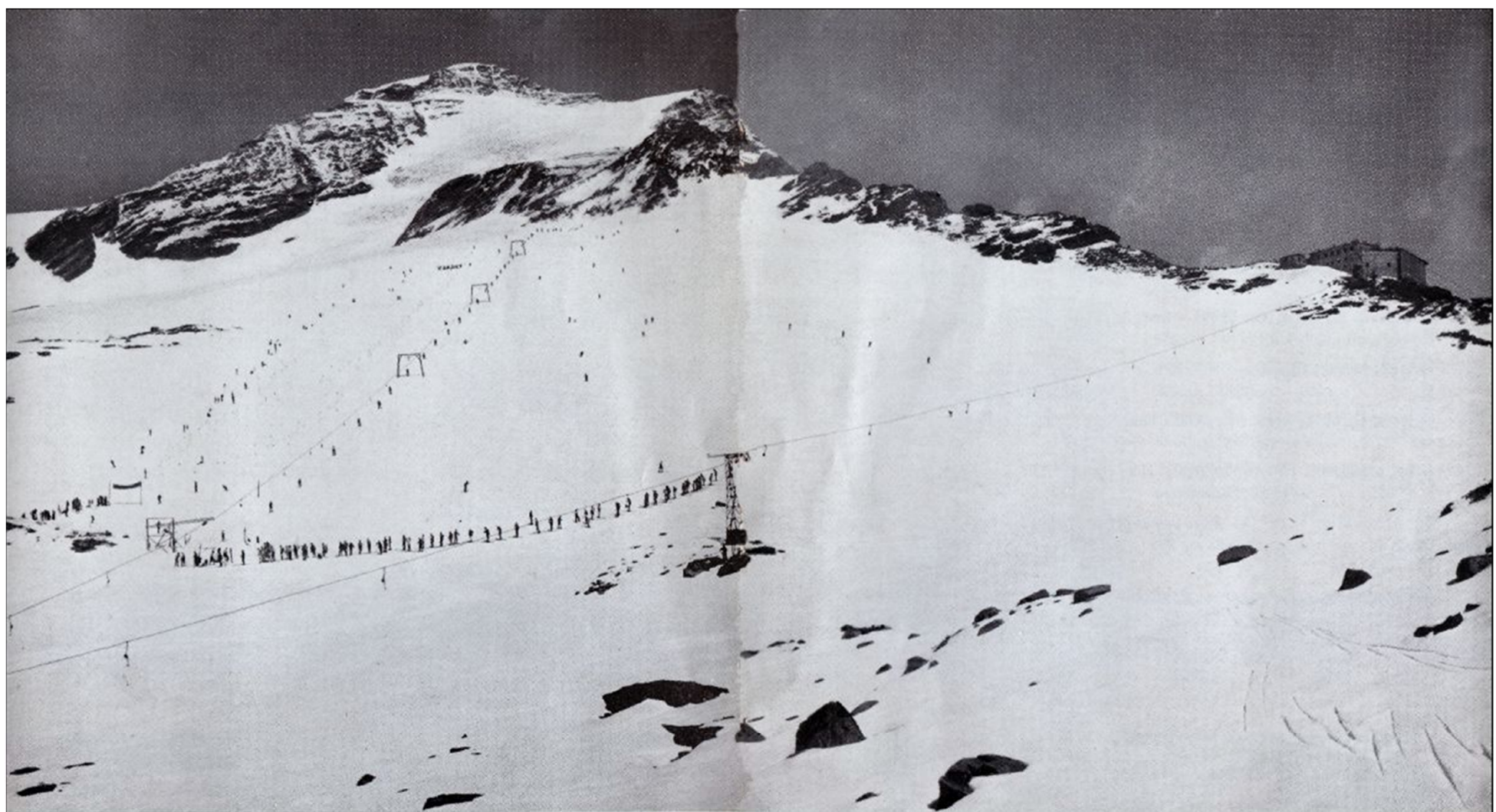


Tsanteleina (Val di Rhemes) – Gran Paradiso – 3601 m (A:Godio)

# I ghiacciai come risorsa turistica...



Sci estivo al Ghiacciaio Indren – Monterosa (anni '70)



## GHIACCIAIO DI INDREN

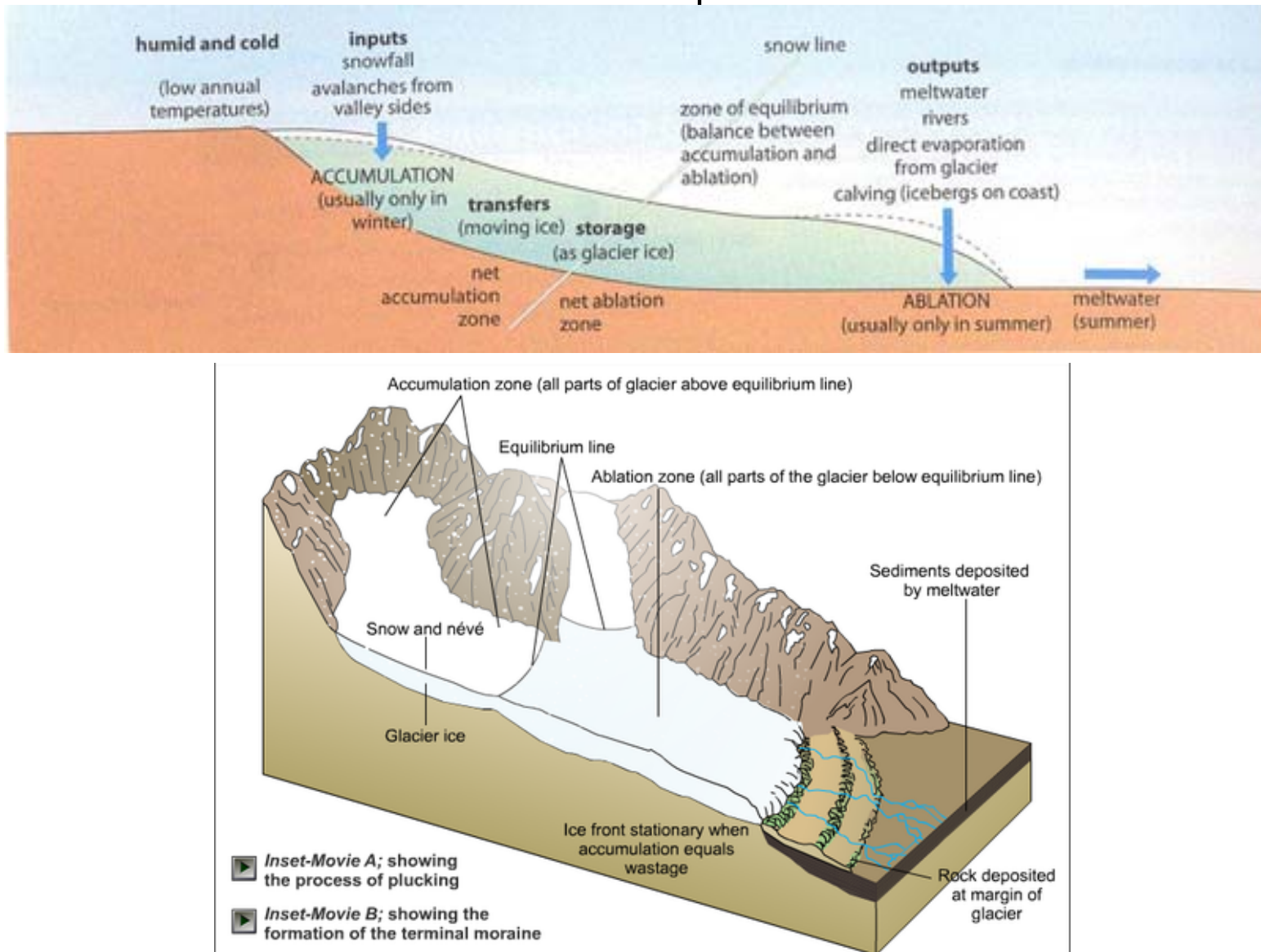
Sullo sfondo: Piramide Vincent m. 4215 - Punta Giordani m. 4046 - Stazione funivia di Alagna m. 3260

intermezzo

Ghiaccio Indren – Settembre 2012



# Sistema termodinamico complesso

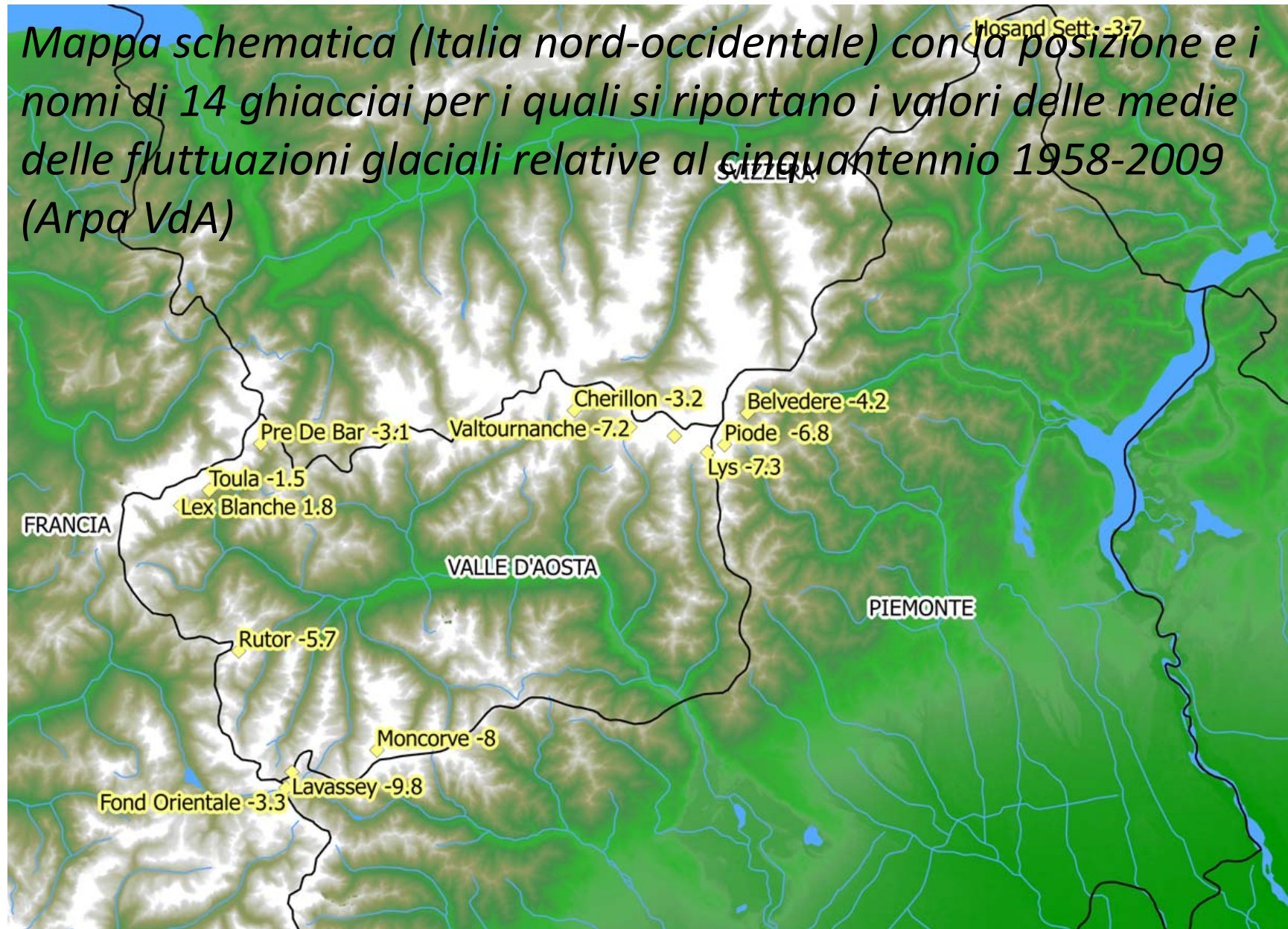




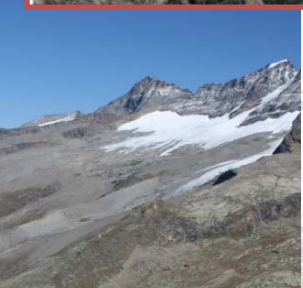
- Cambiamenti delle condizioni atmosferiche (radiazione solare, temperatura dell'aria, precipitazioni, vento, nuvolosità ....) influenzano il bilancio di massa sulla superficie del ghiacciaio. Tale bilancio è rappresentato dalla differenza tra accumulo e ablazione.
- I cambiamenti cumulativi nel bilancio di massa causano un cambiamento nel volume e nello spessore del ghiacciaio stesso.
- La reazione di un ghiacciaio ai cambiamenti climatici è determinata da una complessa catena di processi: variazioni di lunghezza del ghiacciaio e quindi ad un avanzamento o ad un arretramento del fronte glaciale.

*Immagine del ghiacciaio di Pre de Bar (Valle d'Aosta). Immagine tratta dal Catasto Ghiacciai della Regione Valle d'Aosta <http://catastoghiacciai.regione.vda.it/>).*

*Mappa schematica (Italia nord-occidentale) con la posizione e i nomi di 14 ghiacciai per i quali si riportano i valori delle medie delle fluttuazioni glaciali relative al cinquantennio 1958-2009 (Arpa VdA)*

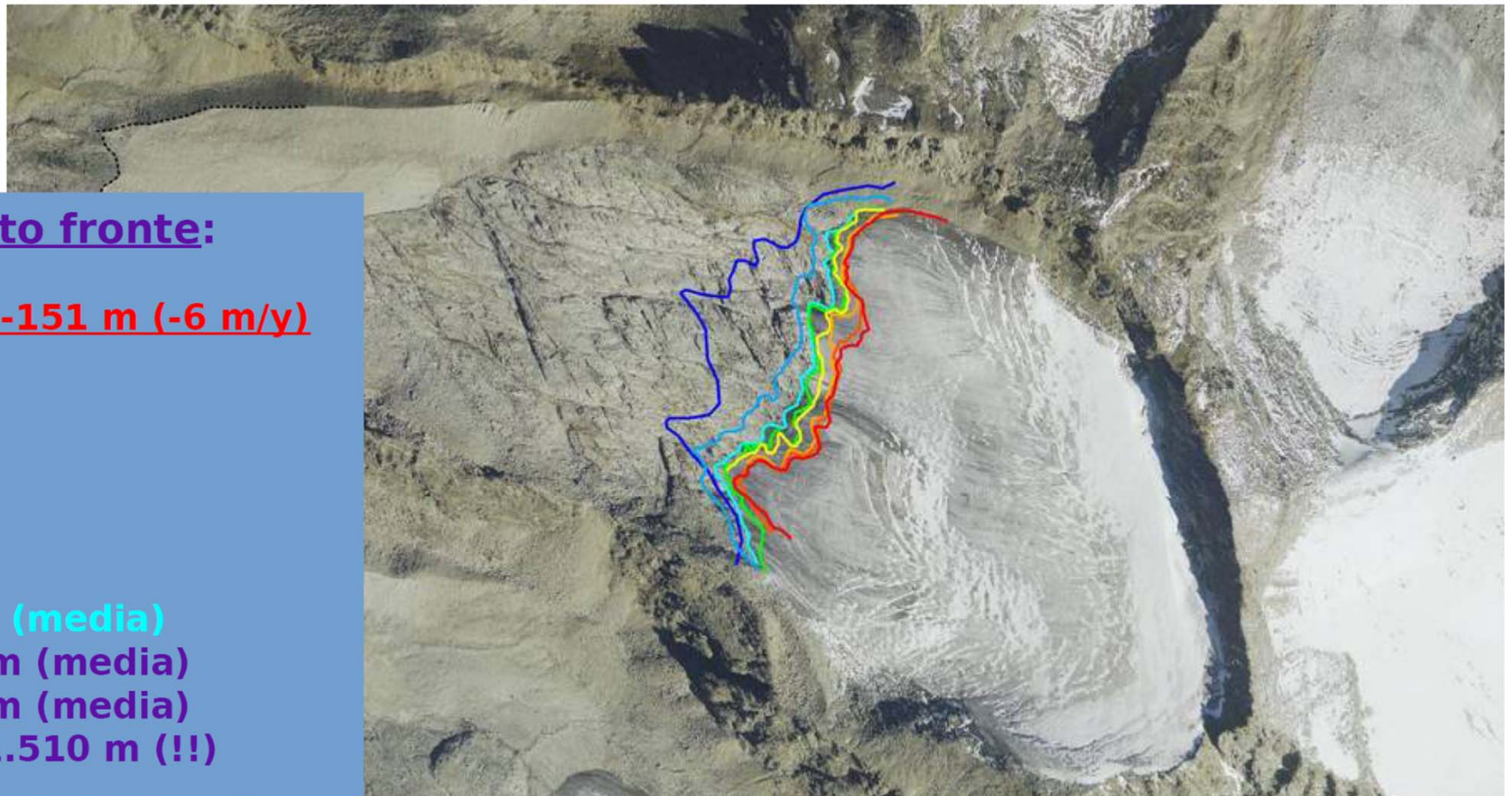


2D 3D | Road Aerial Hybrid | Bird's eye Traffic | <<



# Ghiacciaio Timorion – Gran Paradiso

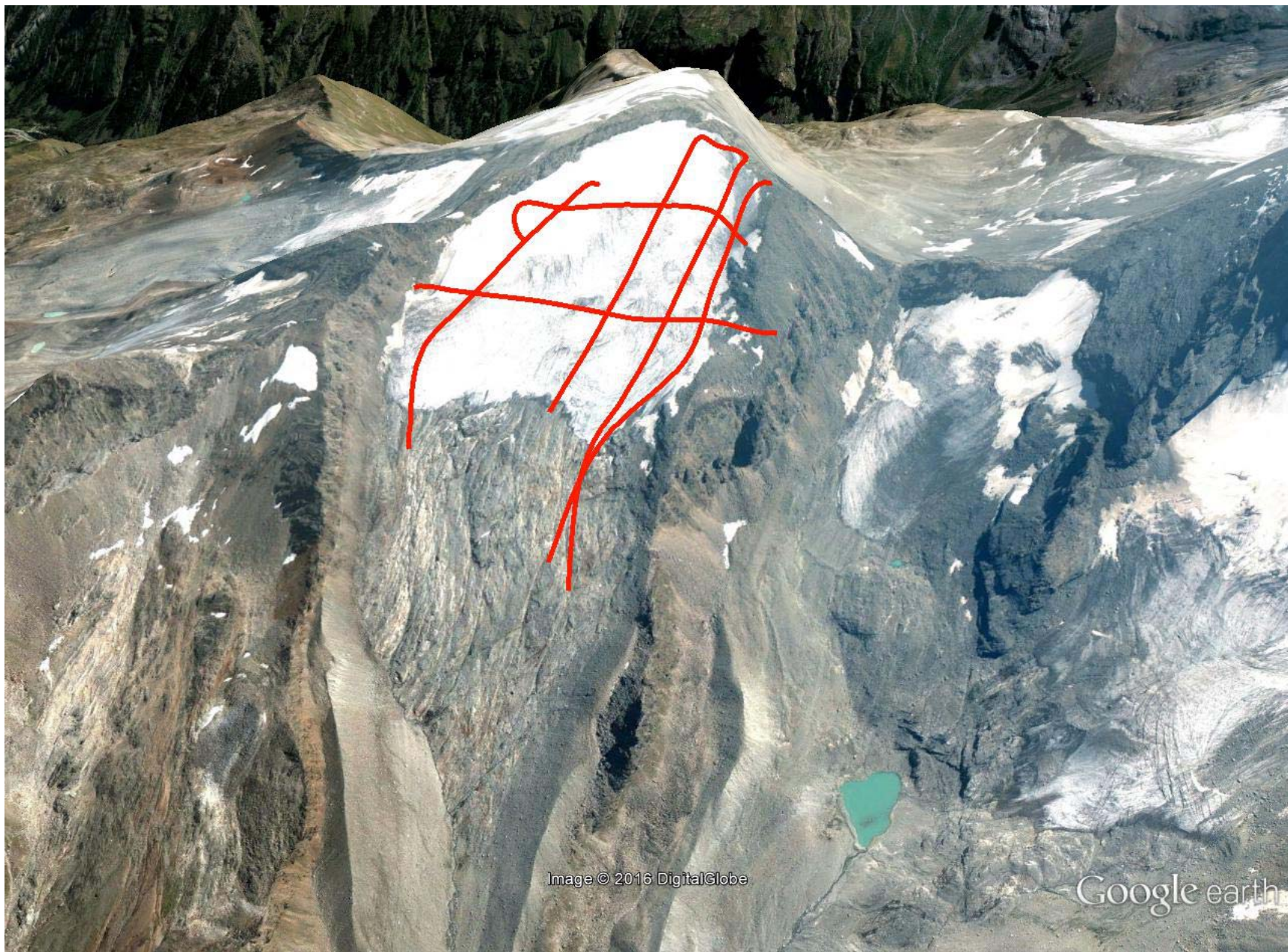
---



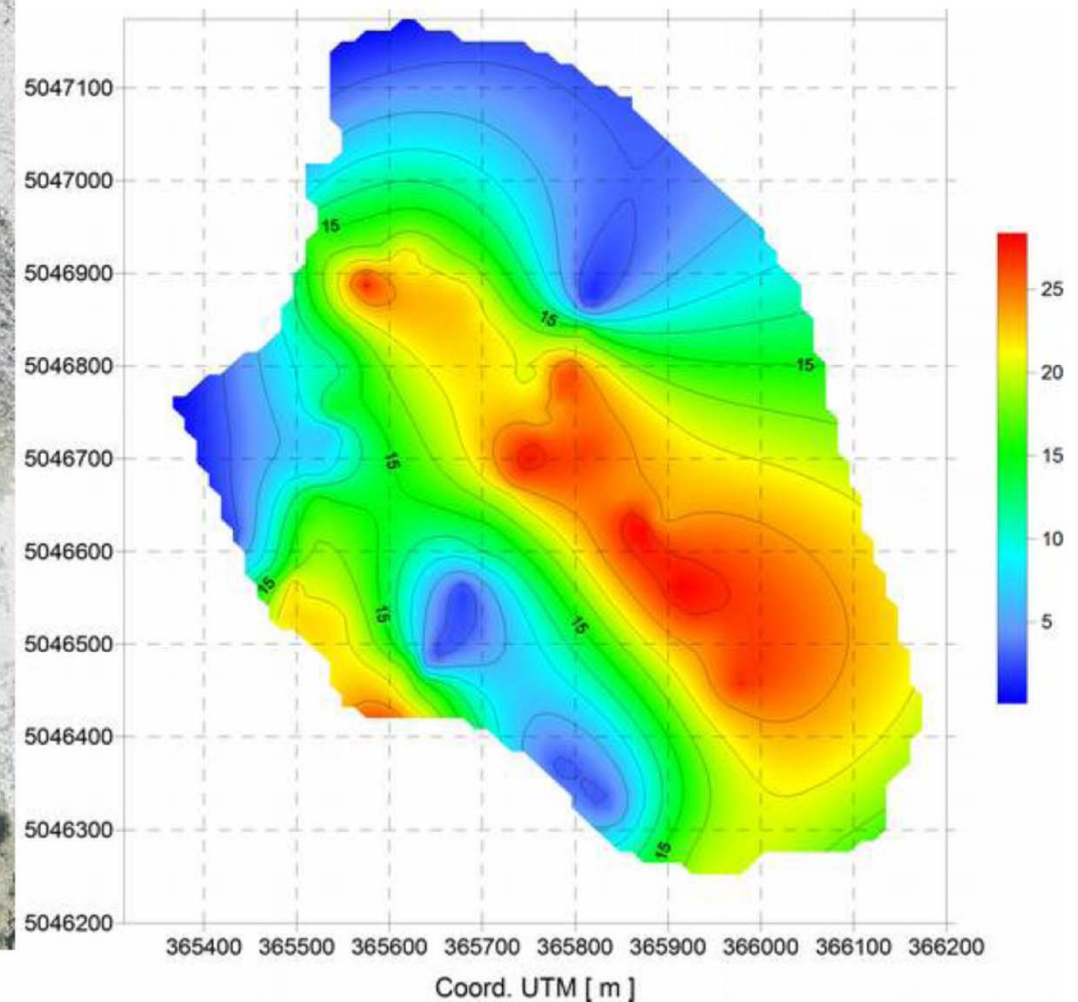
# Metodo georadar elitrasportato – Applicazioni in ambiente alpino

PC portatile da campo	Unità centrale GPR impulsato media frequenza
Alimentazione 12 Vdc	
Dispositivo GPS RTK	
	Antenna freq. 75 -200 MHz
	Dispositivo GPS a terra
Quota di volo: 20-25 m da piano campagna	
Schema blocchi dispositivo GPR impulsato con unità acquisizione in cabina elicottero e installazione antenna esterna	
Ricevitori GPS a terra, posizionati su punti di coordinate note; la distanza massima tra le antenne di riferimento a terra e il velivolo non deve superare i 30 km.	





# Valutazione spessore ghiaccio (Timorion)



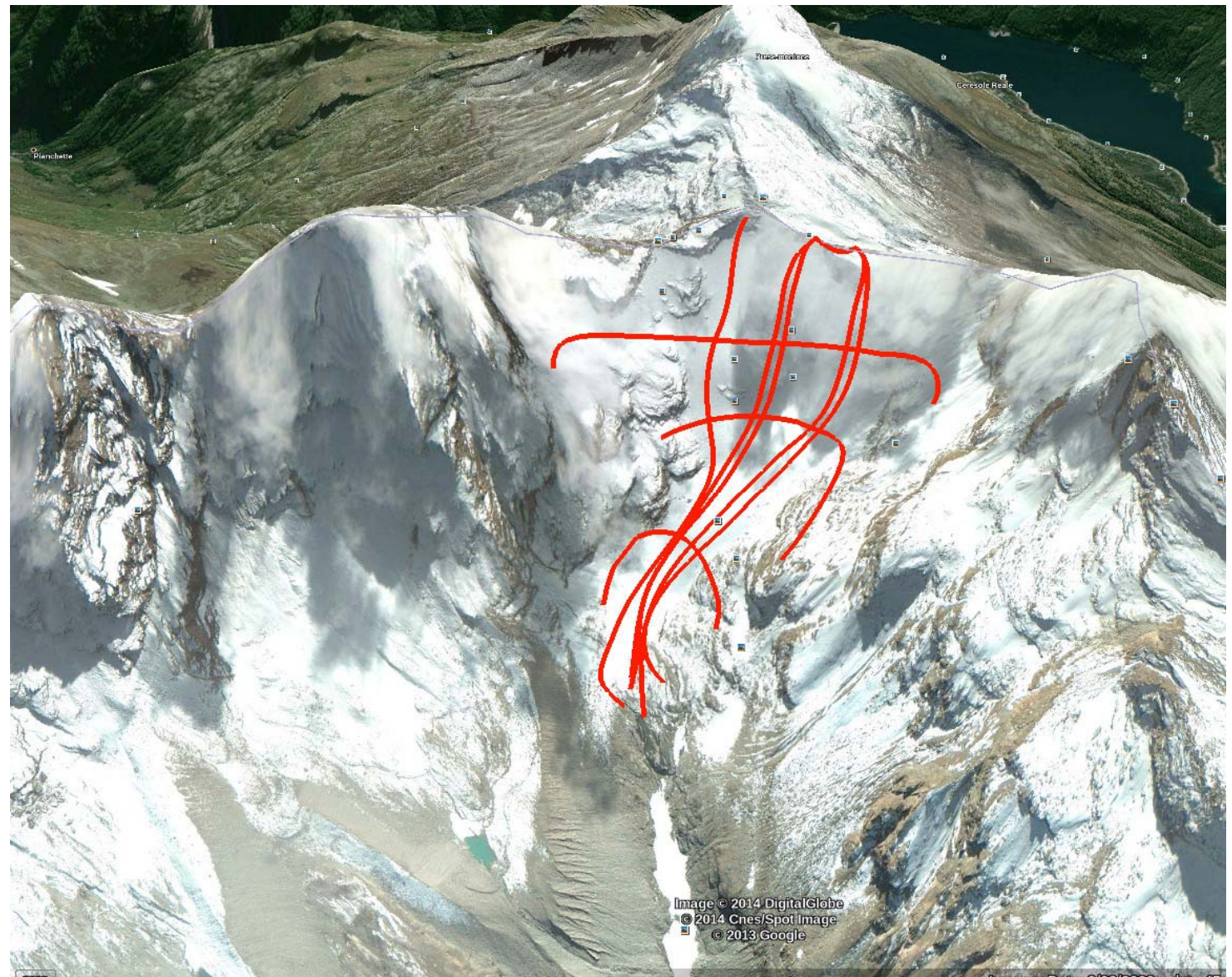
## Georadar elitrasportato – Ghiacciaio Grand Etret (Linee di volo - 2013)

### Acquisizione dati:

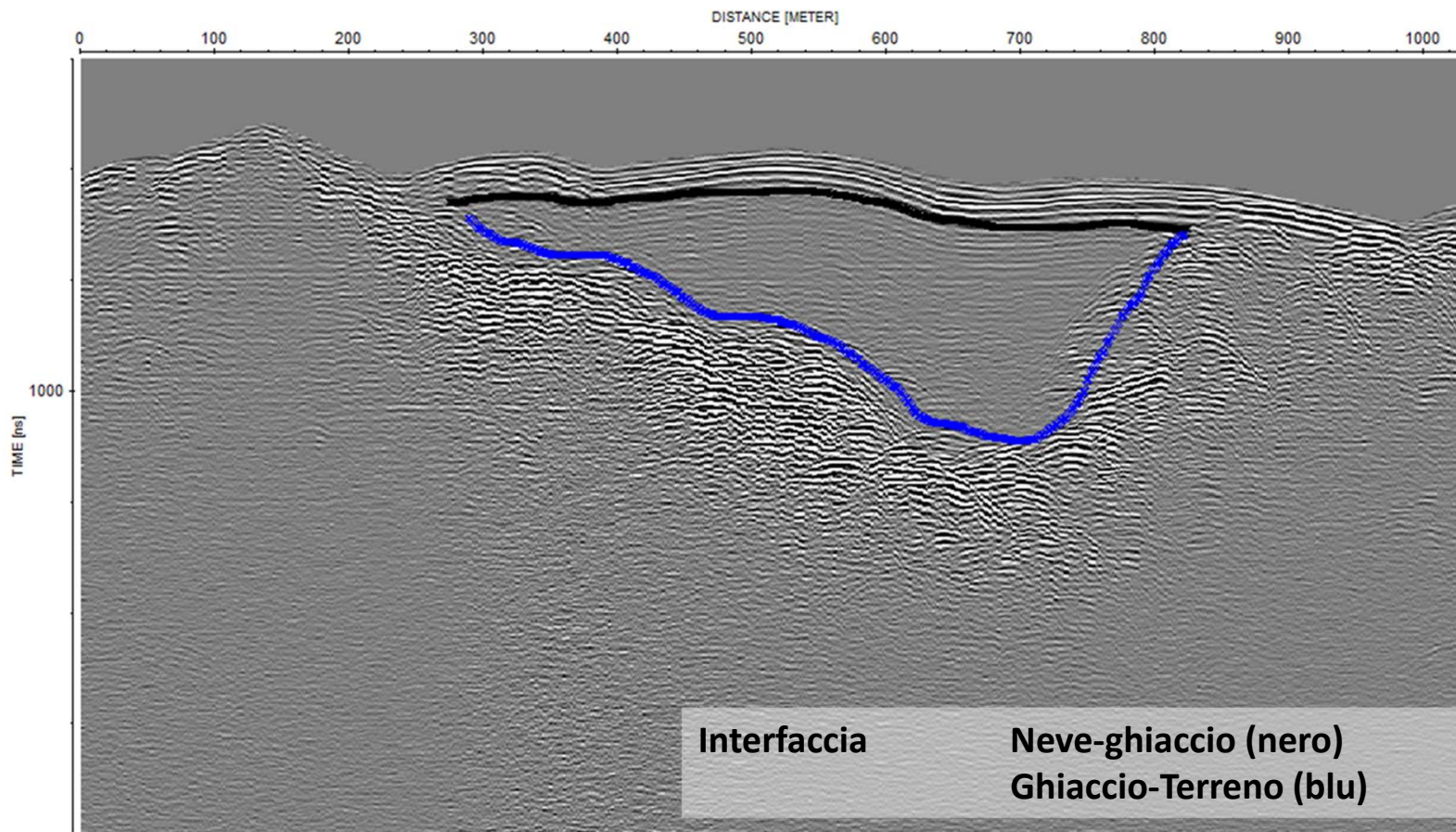
Georadar Impulsato con  
antenna dipolo

Frequenza principale: 75 MHz

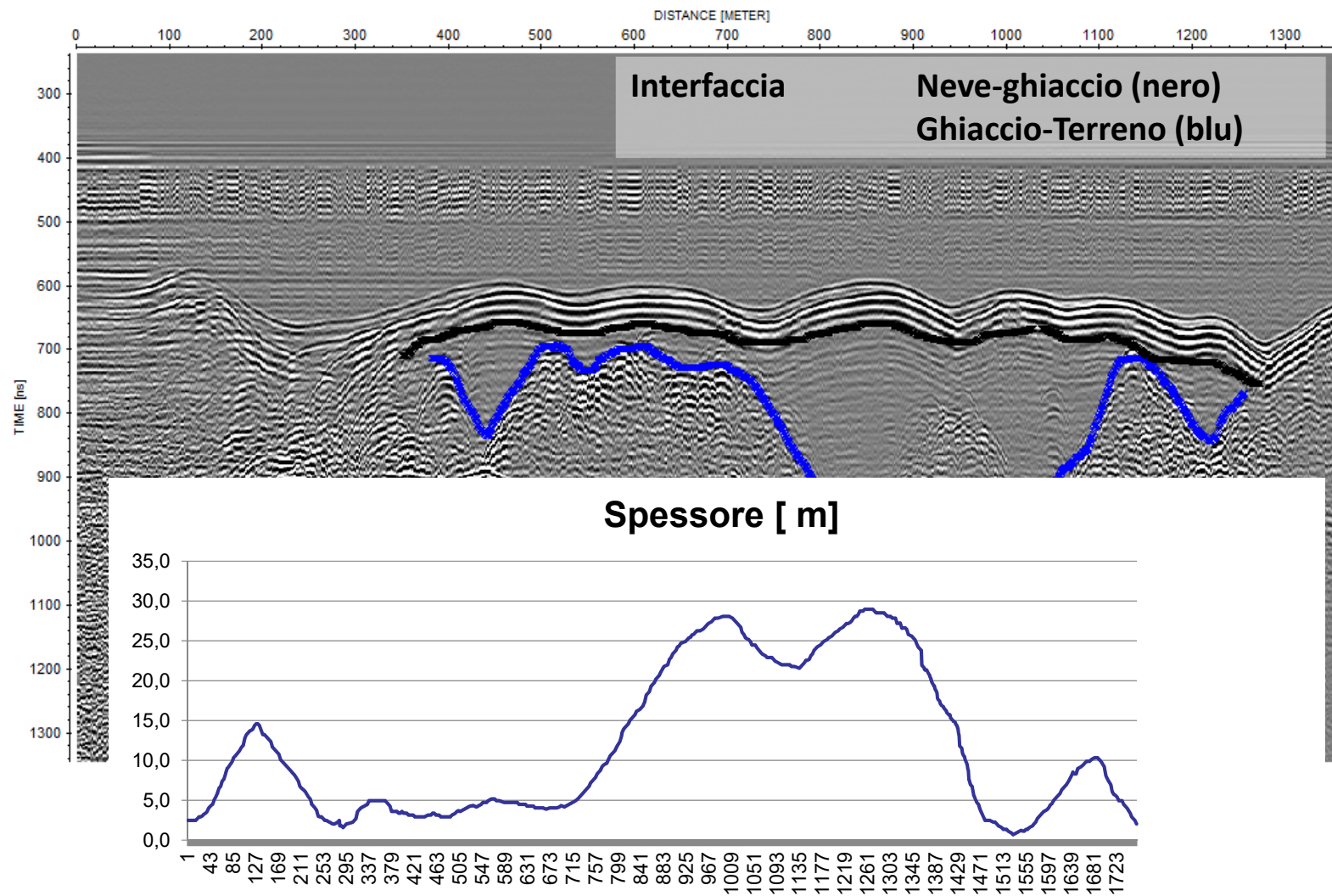
Tracking linee di volo: GPS in  
Real Time Kinematic mode  
con stazione di riferimento a  
terra per correzioni



## Georadar elitrasportato – Grand Etret (2013) – Line 5 (75 MHz)



## Georadar elitrasportato – Grand Etret - Line 2 (75 MHz)

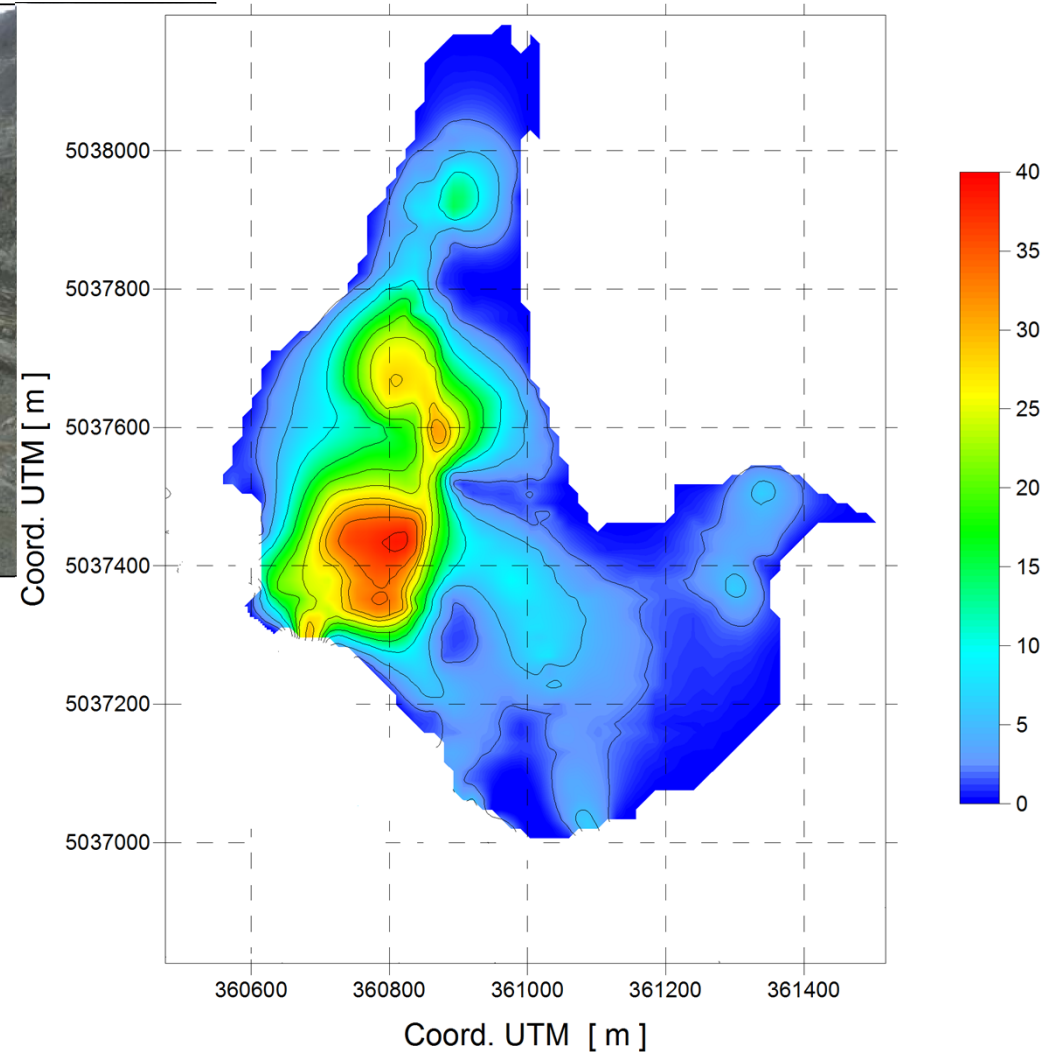




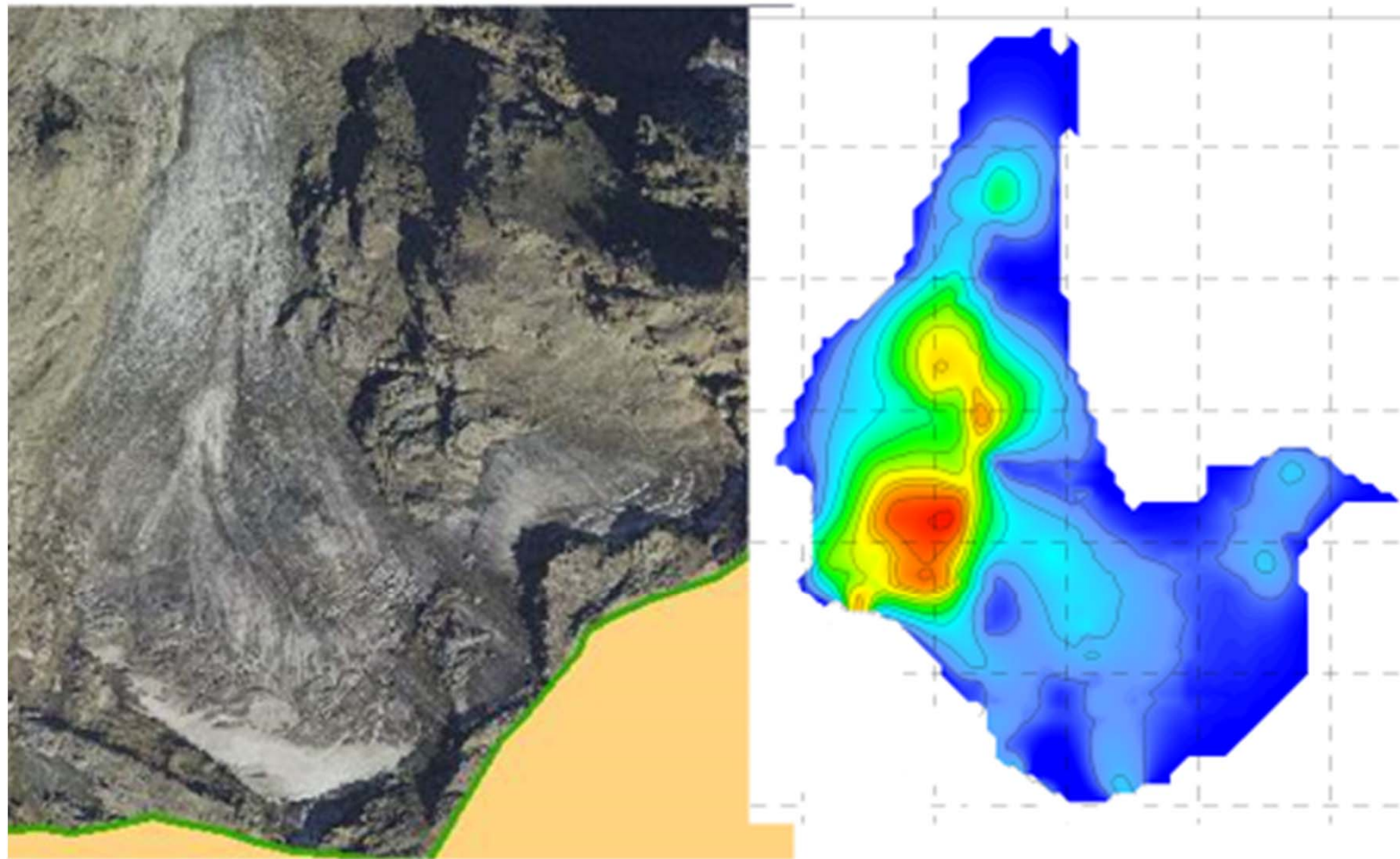
# Metodo georadar elitrasportato – Ghiacciaio Grand Etret (2013)



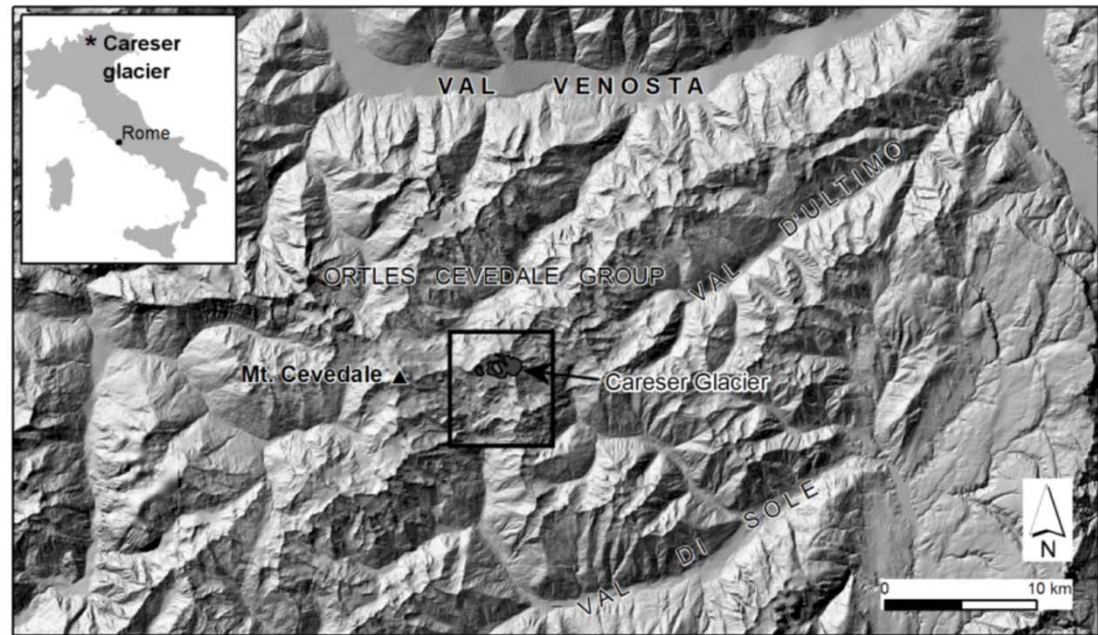
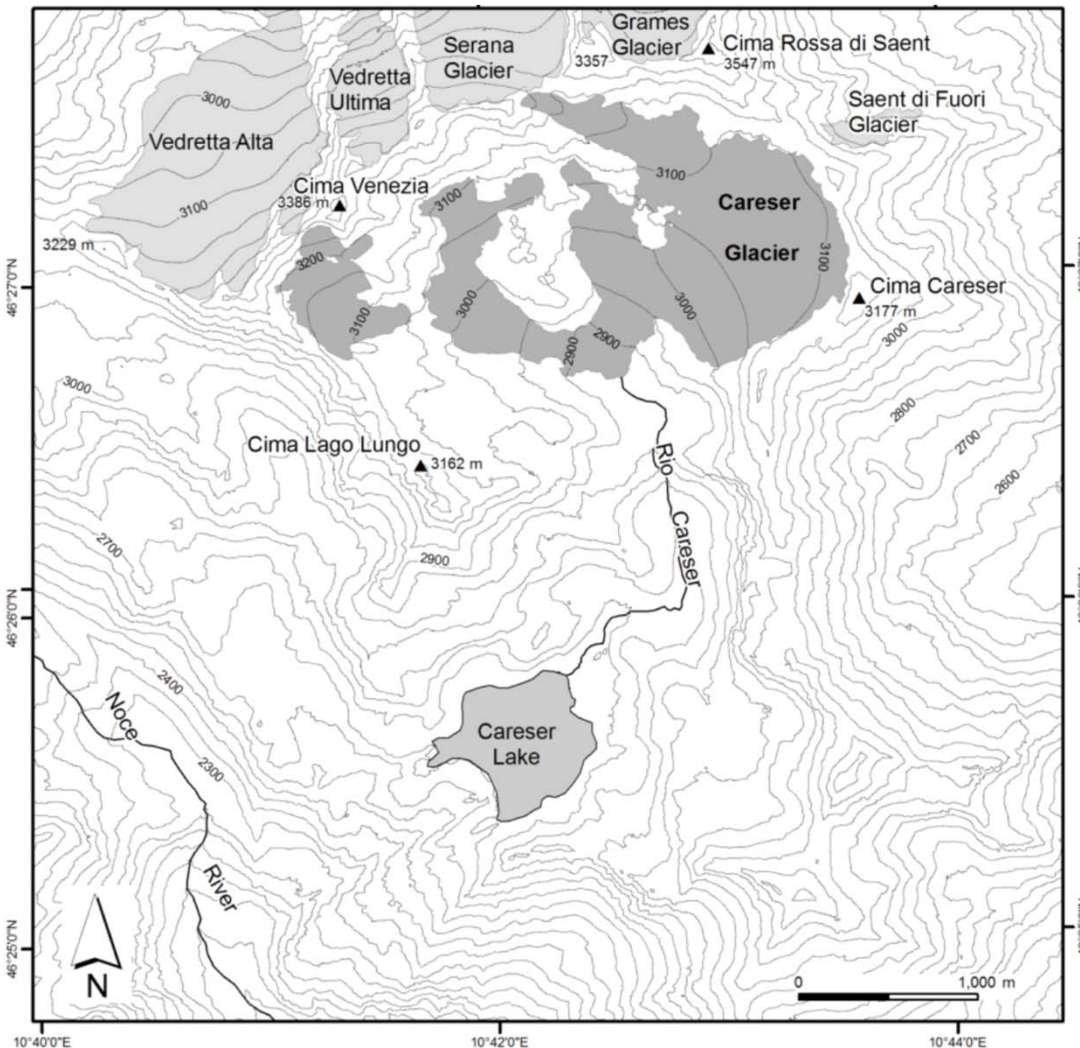
Interpolazione dei valori di spessore del ghiaccio  
Mediante procedure di kriging con vincoli di spessore nullo ai bordi, ricavati da misure puntuali GPS lungo il perimetro del ghiacciaio

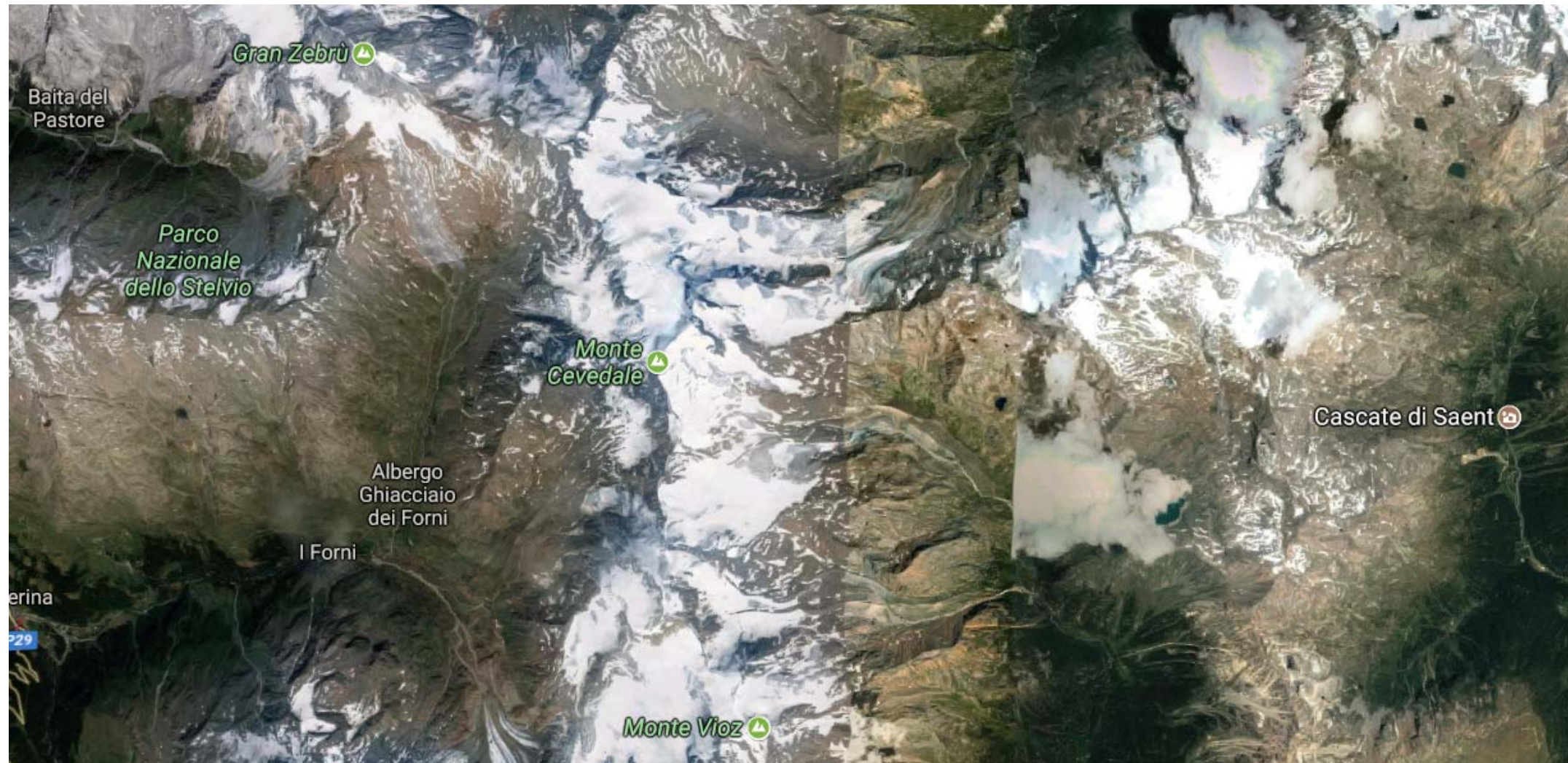


## Georadar elitrasportato – Ghiacciaio Grand Etret (2013)

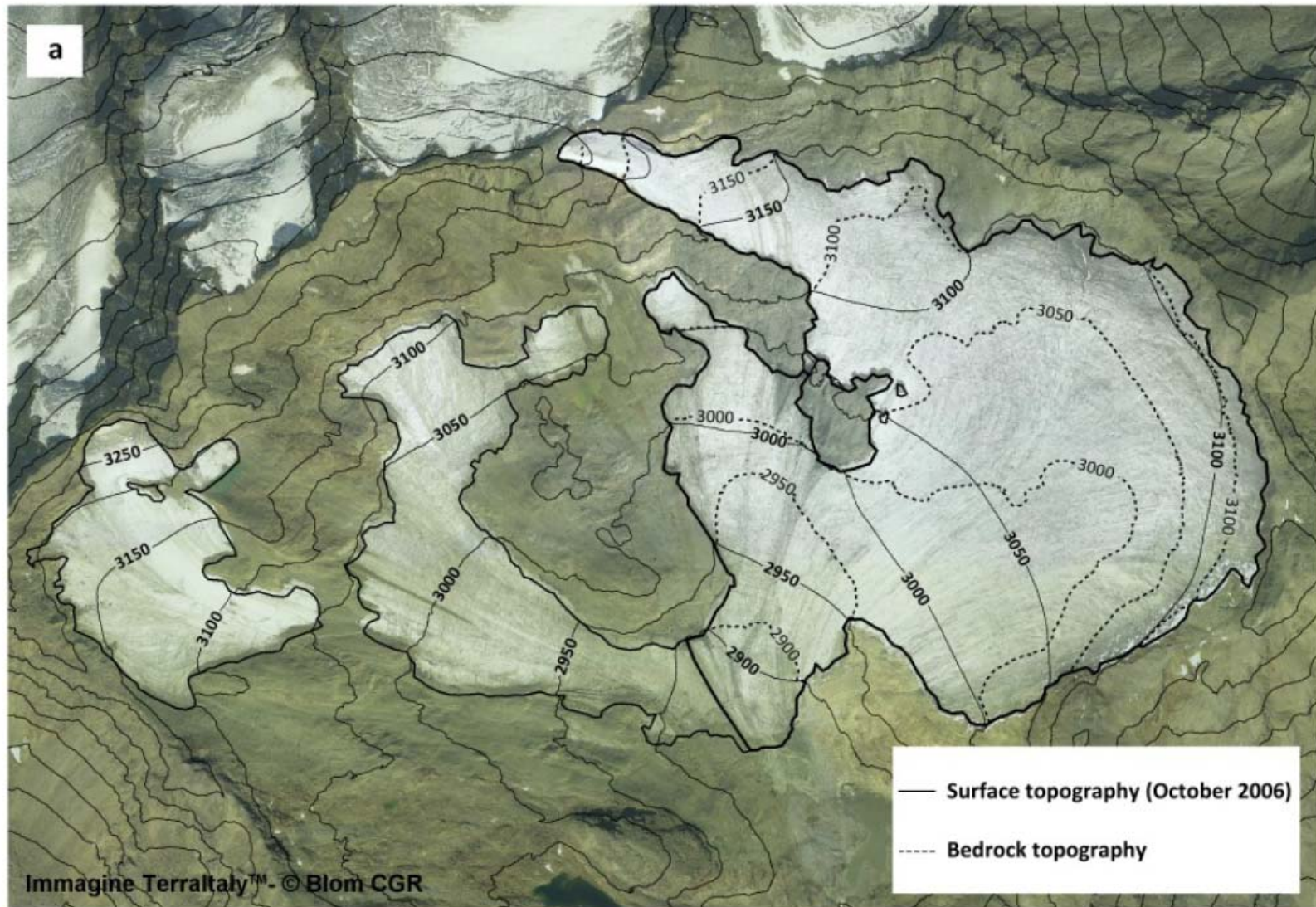


# Ghiacciaio Careser – Trentino

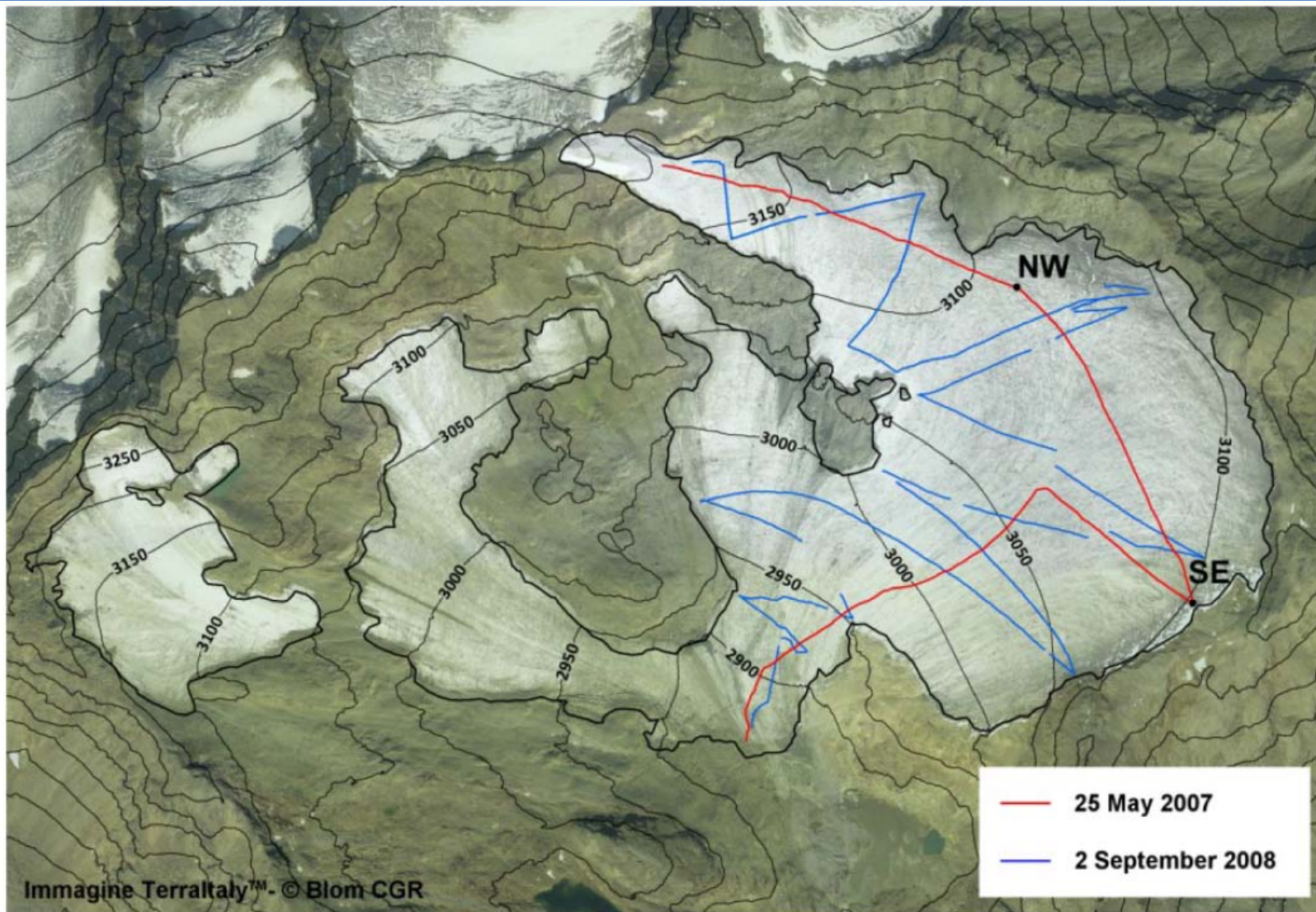




# Ghiacciaio Careser – Trentino

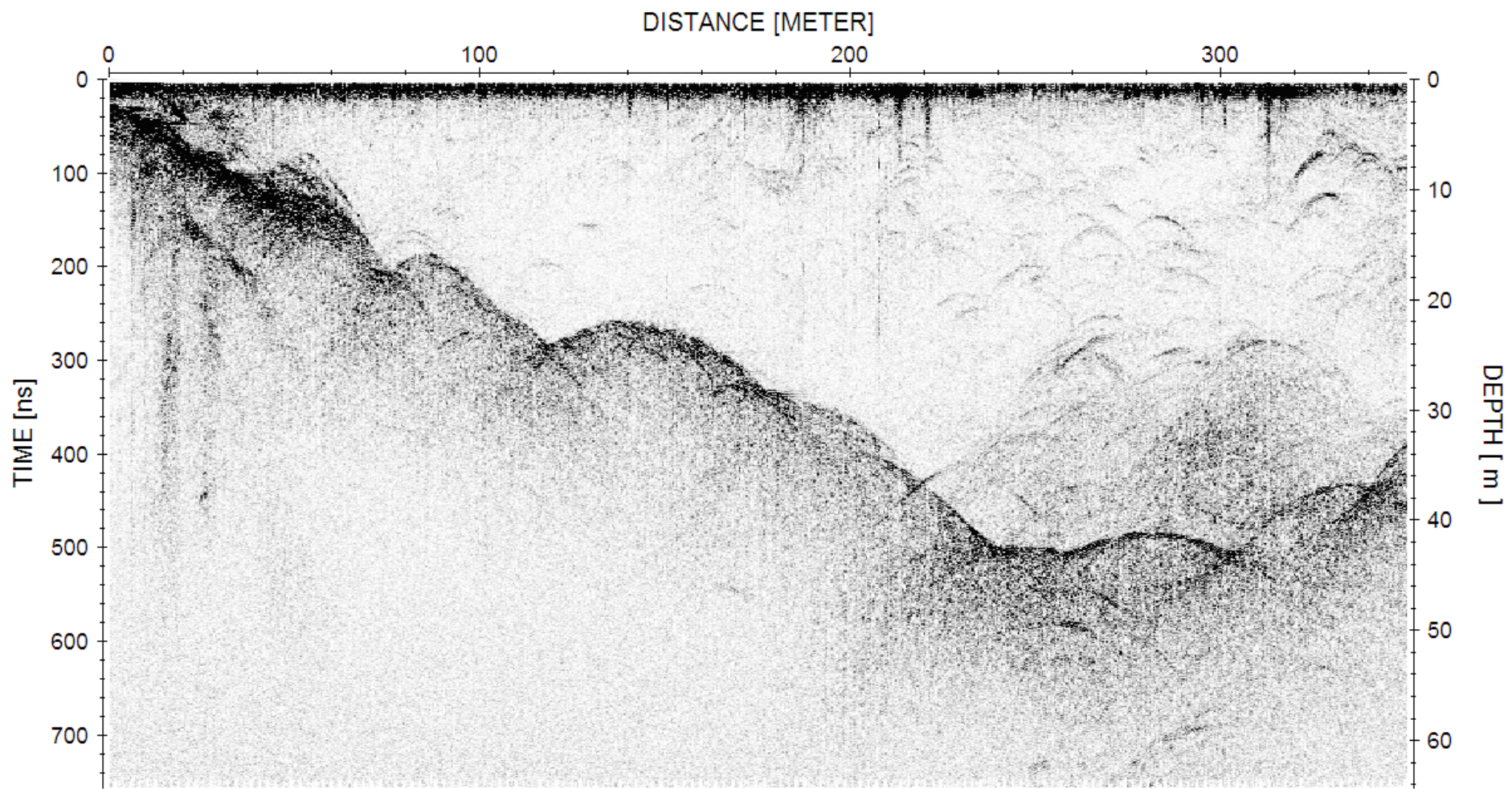


# Ghiacciaio Careser – Trentino – Acquisizione dati georadar



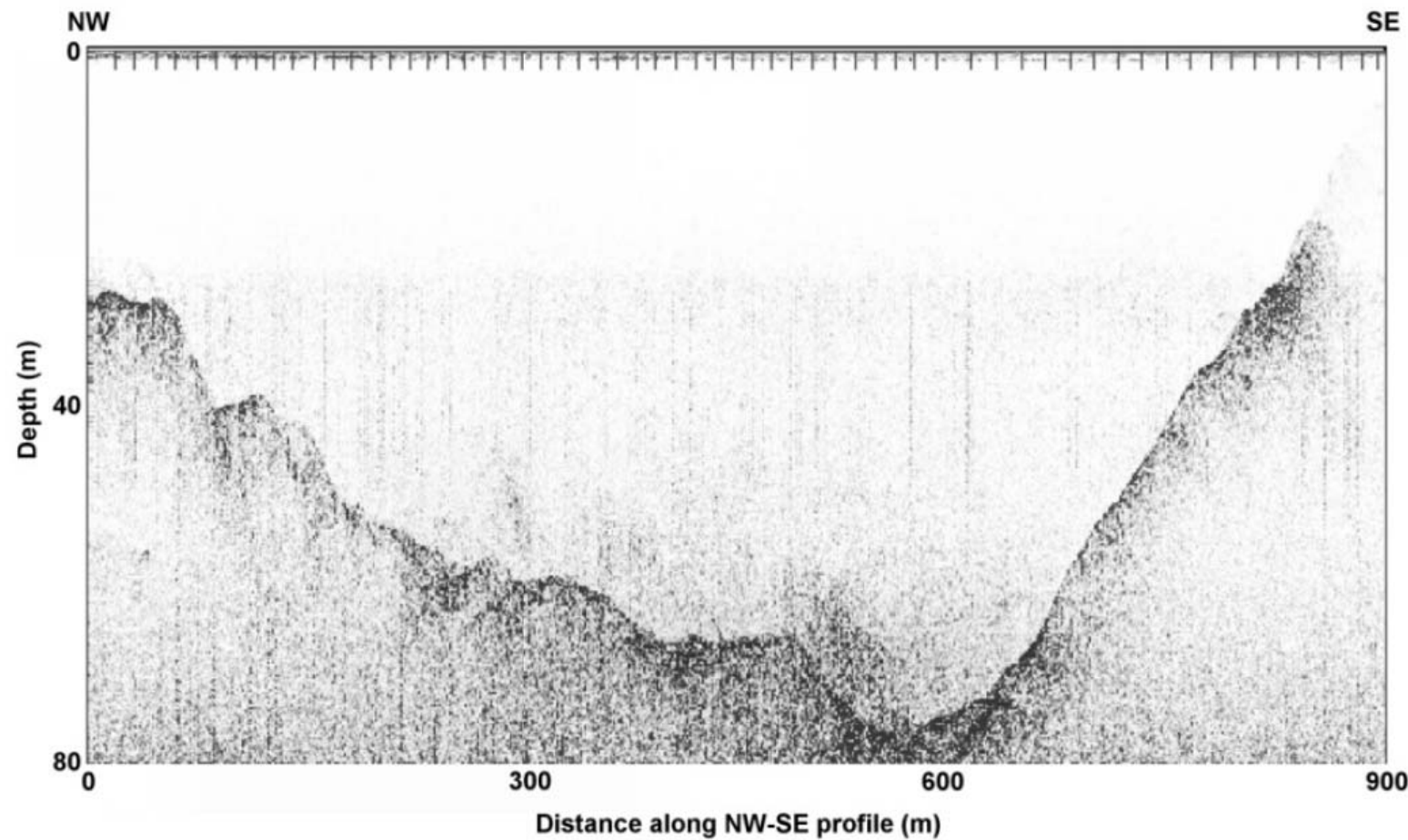
# Ghiacciaio Careser (Trentino) – Acquisizione GPR – 200 MHz

---



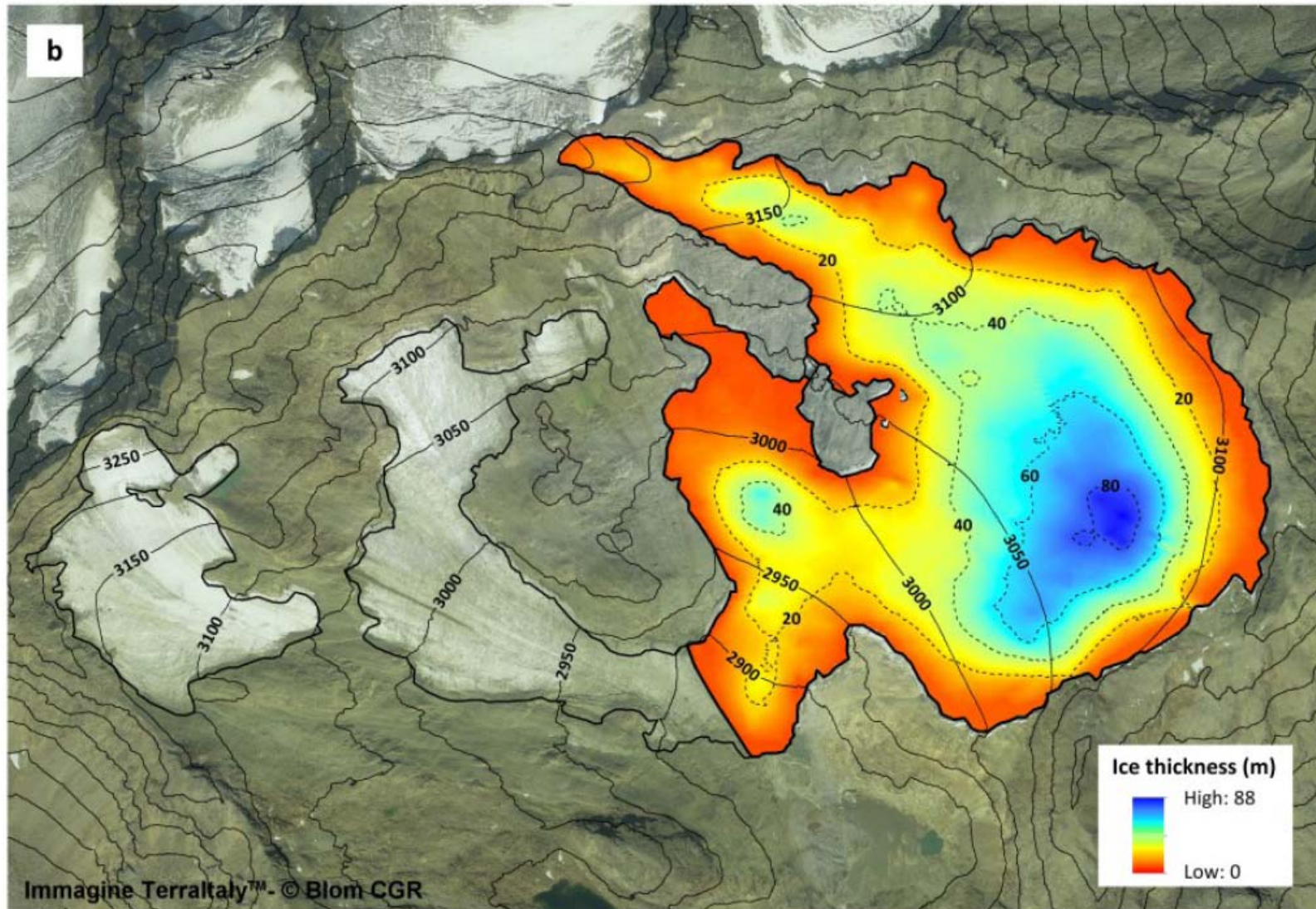
# Sezione radar trasversale (migrata) ghiacciaio Careser

---

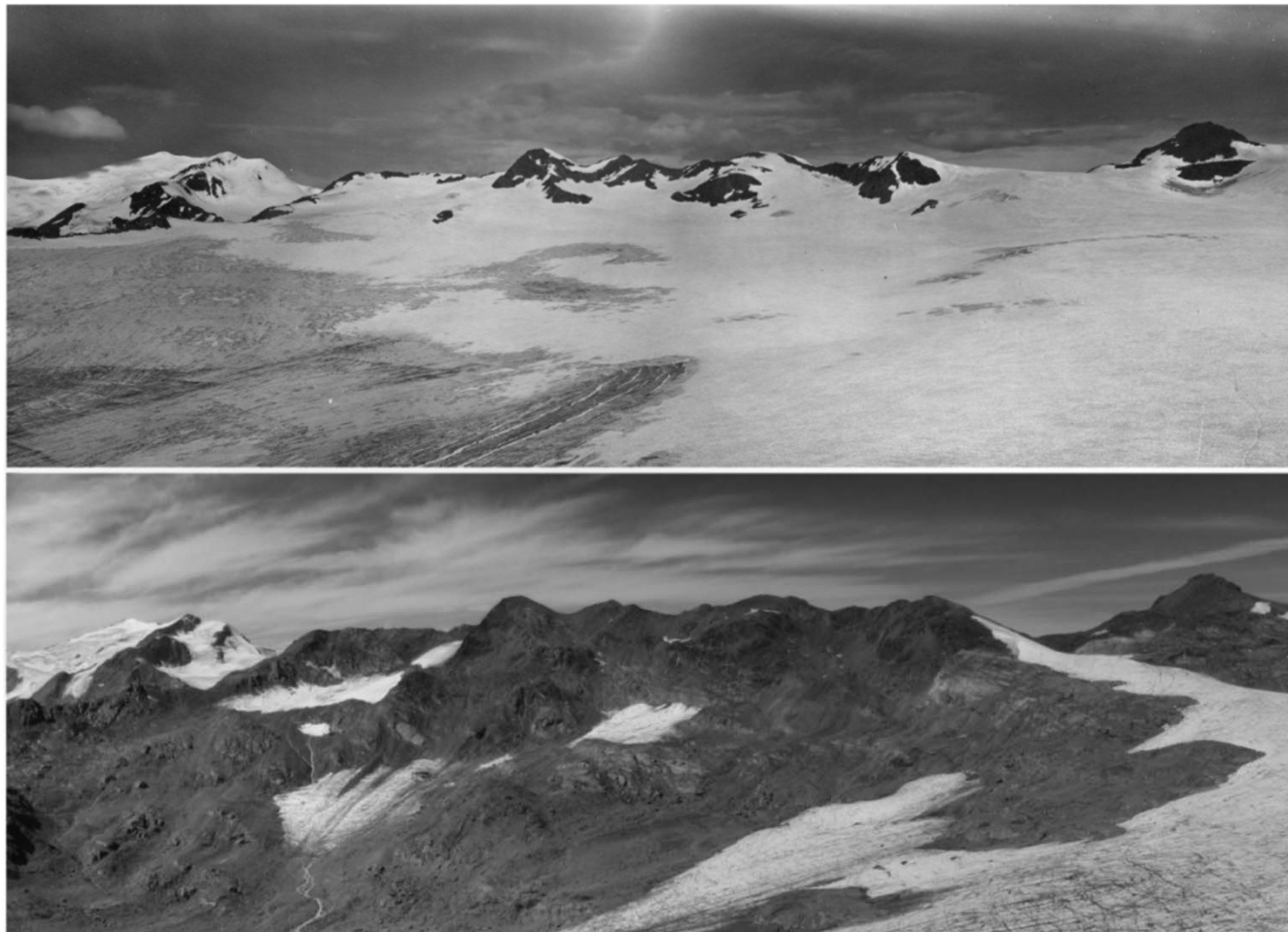


# Ghiacciaio Careser – Trentino

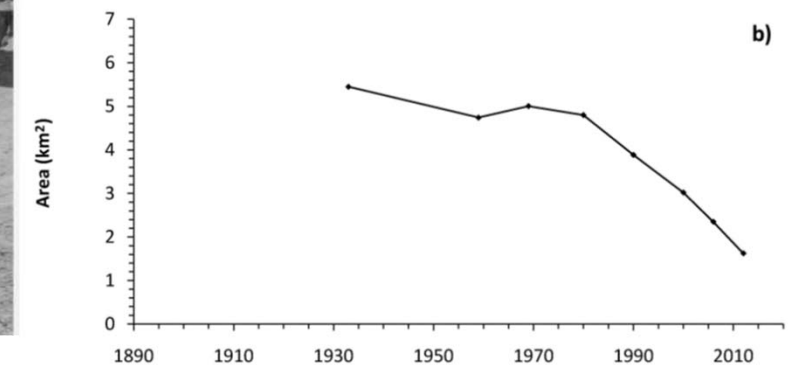
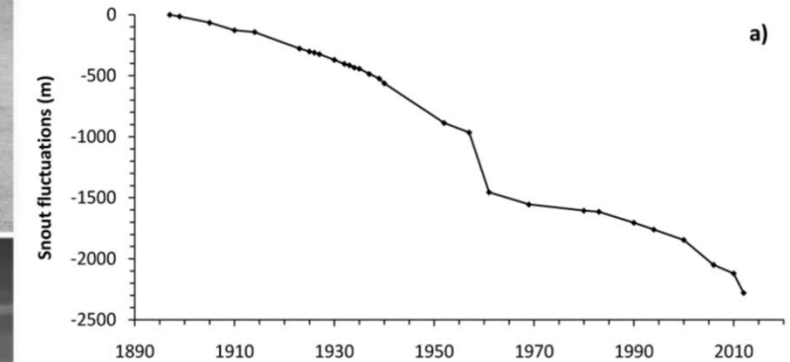
## Elaborazione spessore da dati georadar



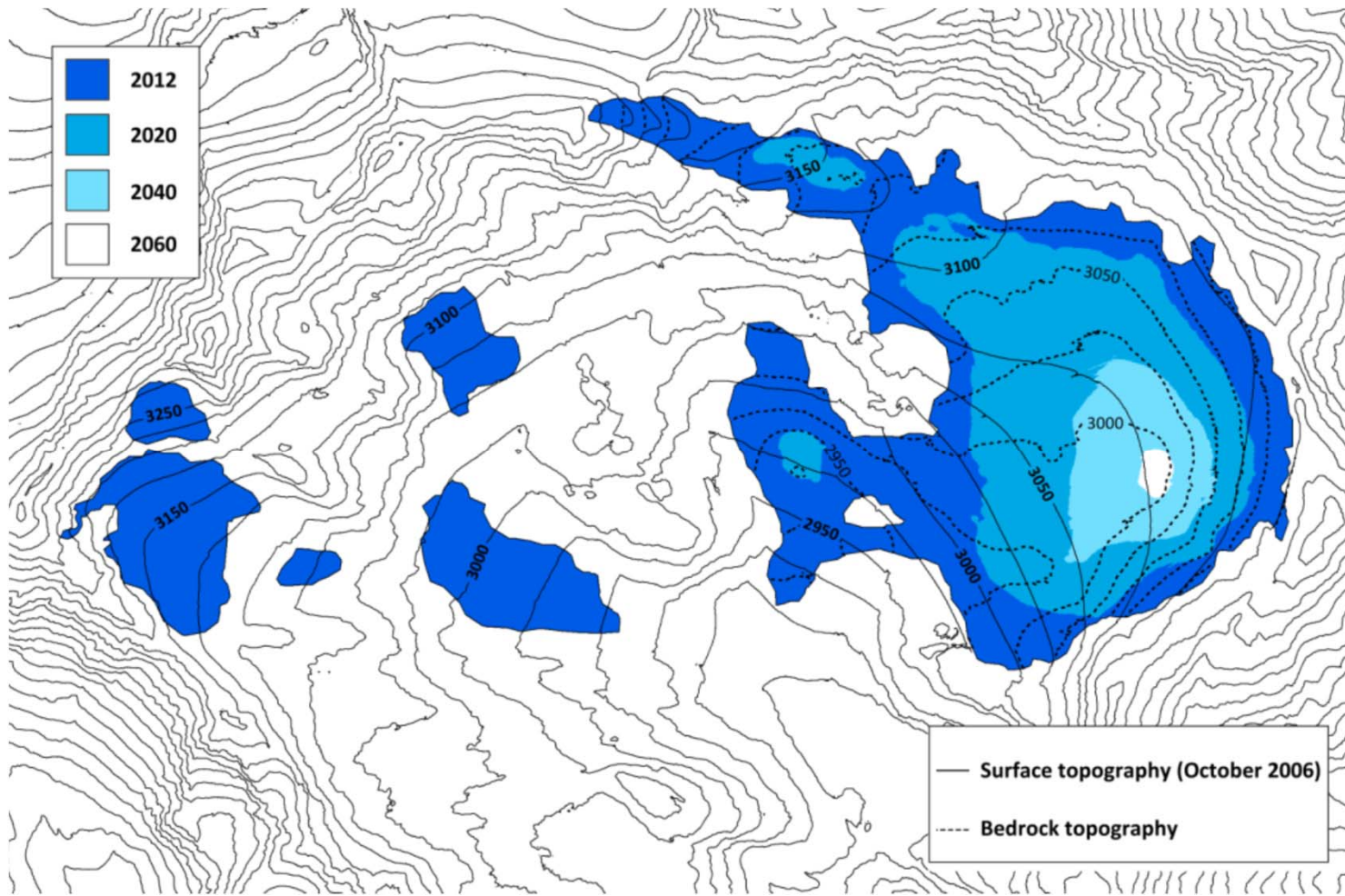
# Ghiacciaio Careser – Evoluzione passata



Photographic comparison of the Careser glacier in August 1933 (above, courtesy of Comitato Glaciologico Italiano) and on 28 August 2012 (below, photo L. Carturan).



# Ghiacciaio Careser - Modelli evolutivi



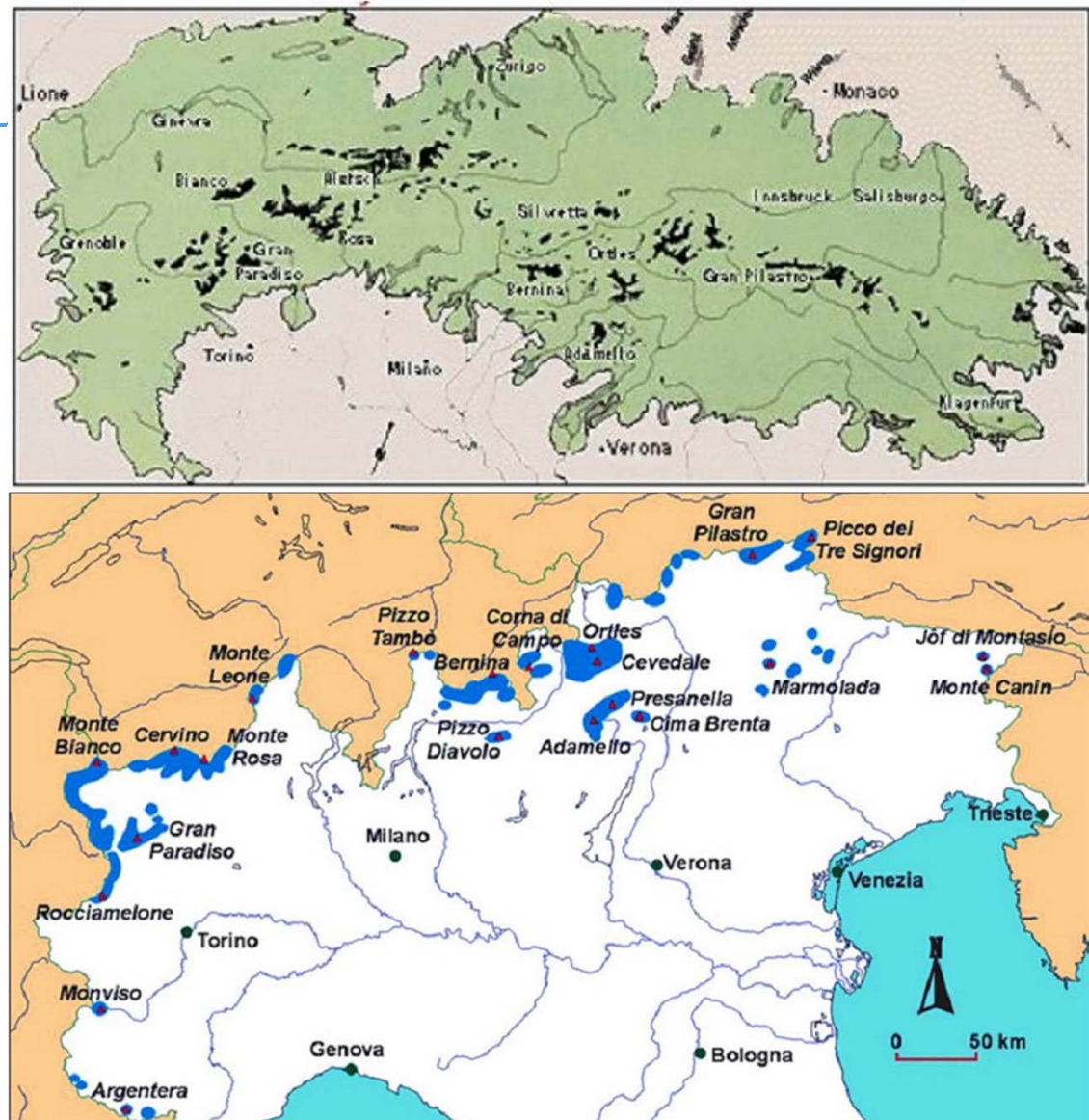
Current (2012) and future extent of the Careser glacier, assuming unchanged annual mass balance distribution compared to the spatial distribution of the mean annual mass balance compared to the period from 2003 to 2012 mean, and negligible glacier motion.

# Evoluzione glaciale

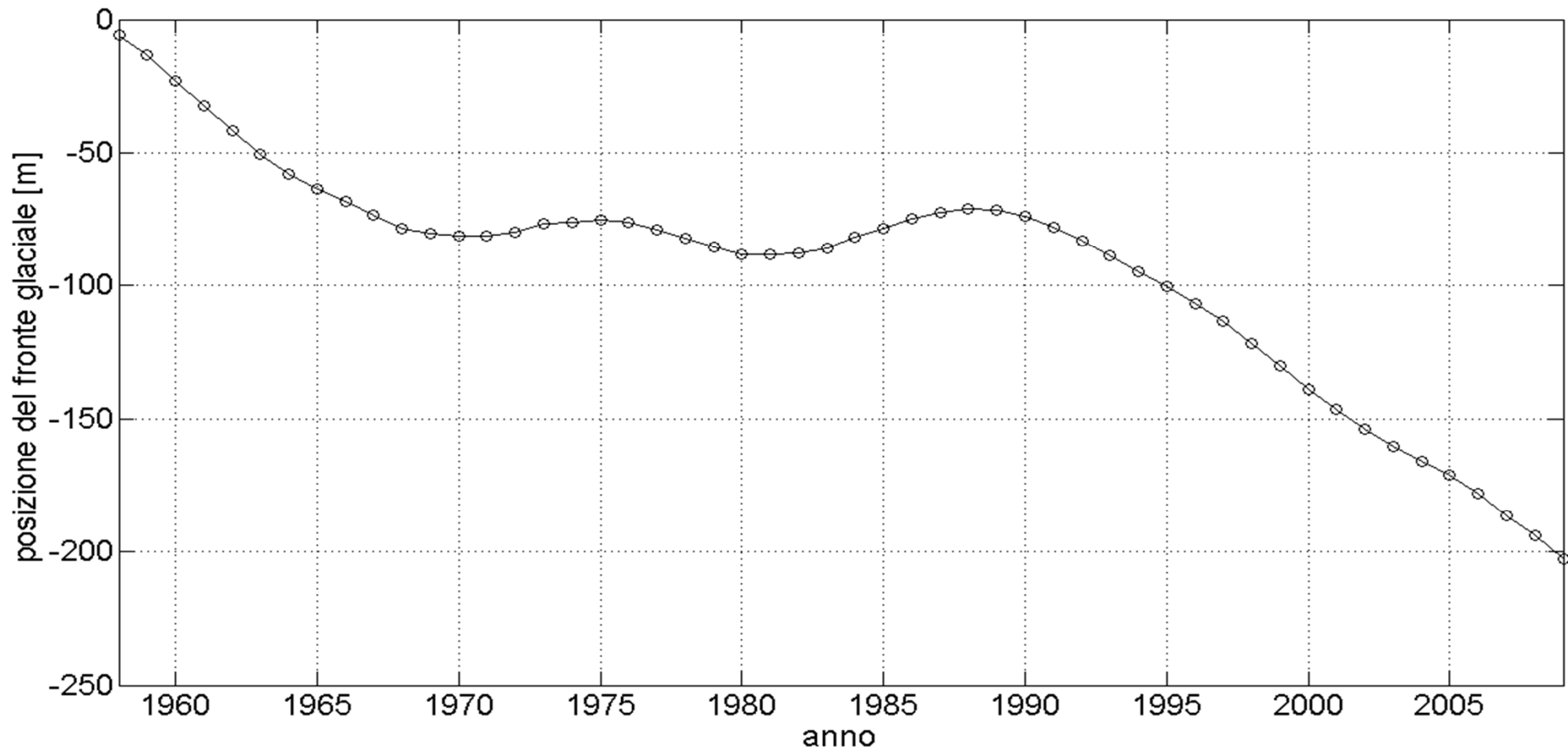
Distribuzione dei ghiacciai alpini durante la fase terminale dell'ultima glaciazione (in alto) e ai nostri giorni (in basso, in azzurro)

Nel momento di massima espansione glaciale, all'incirca tra 20000 e 15000 anni fa, le Alpi e le Prealpi erano interamente ricoperte da una coltre glaciale, di spessore variabile tra qualche centinaio di metri e più di 1 km, che arrivava fino agli sbocchi delle valli in pianura.

Al giorno d'oggi, ci sono soltanto circa 500 km<sup>2</sup> quadrati residui di questa enorme coltre glaciale, localizzati sui massicci rocciosi più alti della catena alpina.



*Arretramento medio (in m) dei fronti glaciali nel periodo 1958-2009.  
L'arretramento medio complessivo risultante è di circa 200 m (Arpa VdA)*





*36° Convegno Nazionale  
Trieste 14-16 novembre 2017*

## Rischio frane, crolli distacchi

---

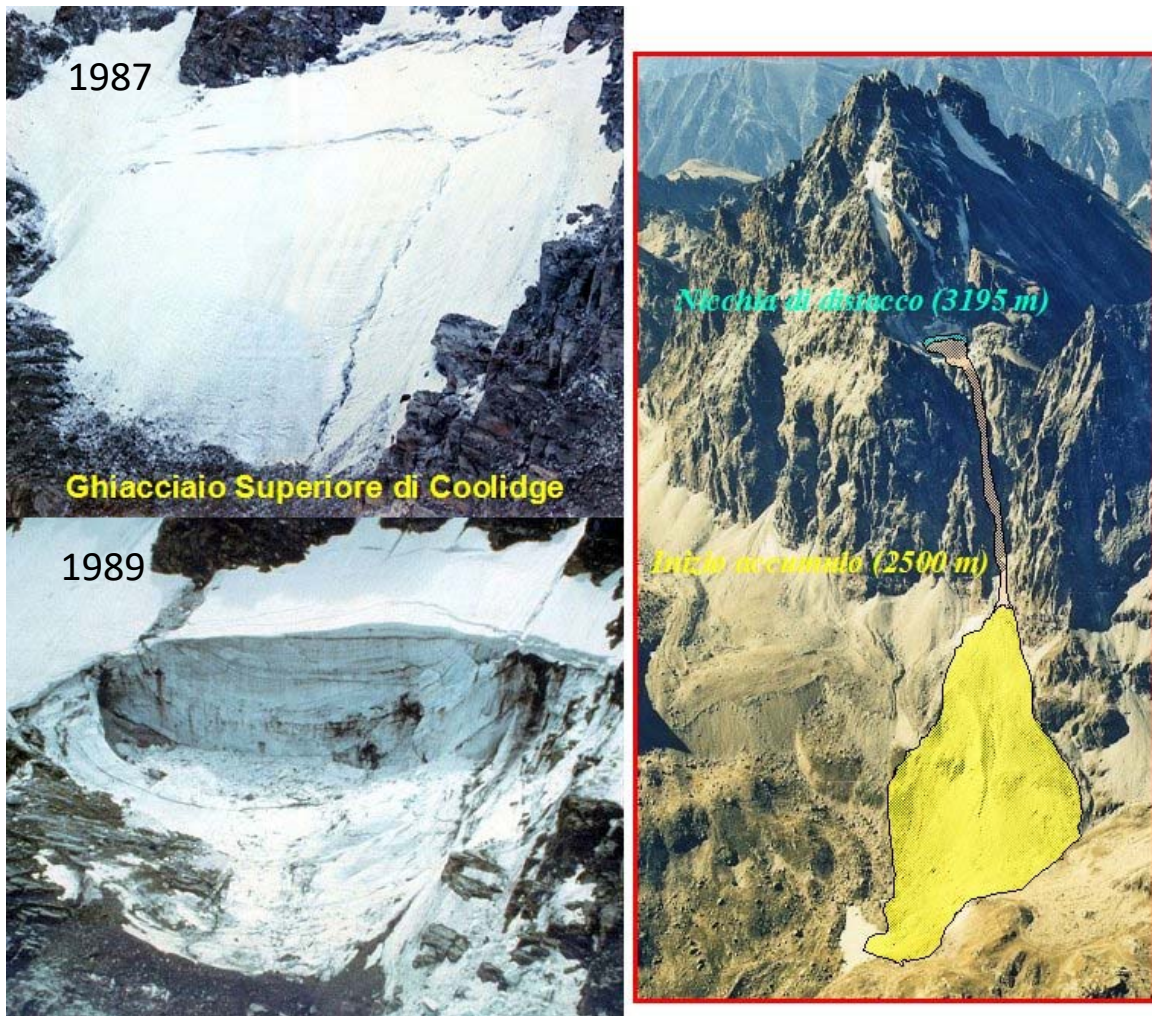
I fenomeni di gelo-disgelo, le variazioni termiche improvvise e soprattutto le variazioni climatiche di medio periodo possono essere causa di una serie di fenomeni:

- Crolli e distacchi di volumi di roccia
- Crolli parziali di volumi di ghiaccio
- Formazione di laghi glaciali (tracimazioni) e endoglaciali
- Inondazioni a seguito di collassi di strutture interne

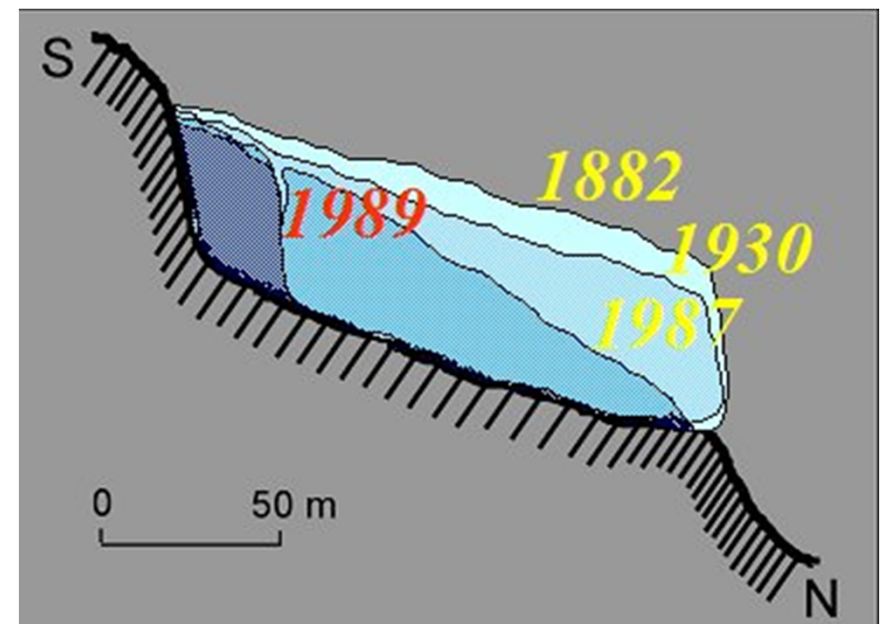


Ghuacciaio Cherillon – Cervino - Cortesia G.Zanetti

# Ghiacciaio superiore di Coolidge - Monviso



Porzione di ghiacciaio distaccatasi durante l'evento (1989) già preannunciata dall'evidente crepaccio che delimita l'area del successivo distacco.  
La sezione del ghiacciaio superiore (ricostruzione foto storiche) evidenzia lo spessore esiguo della calotta glaciale nella sua parte terminale nel 1989, probabilmente causata dalle intense piogge estive ad alta quota.

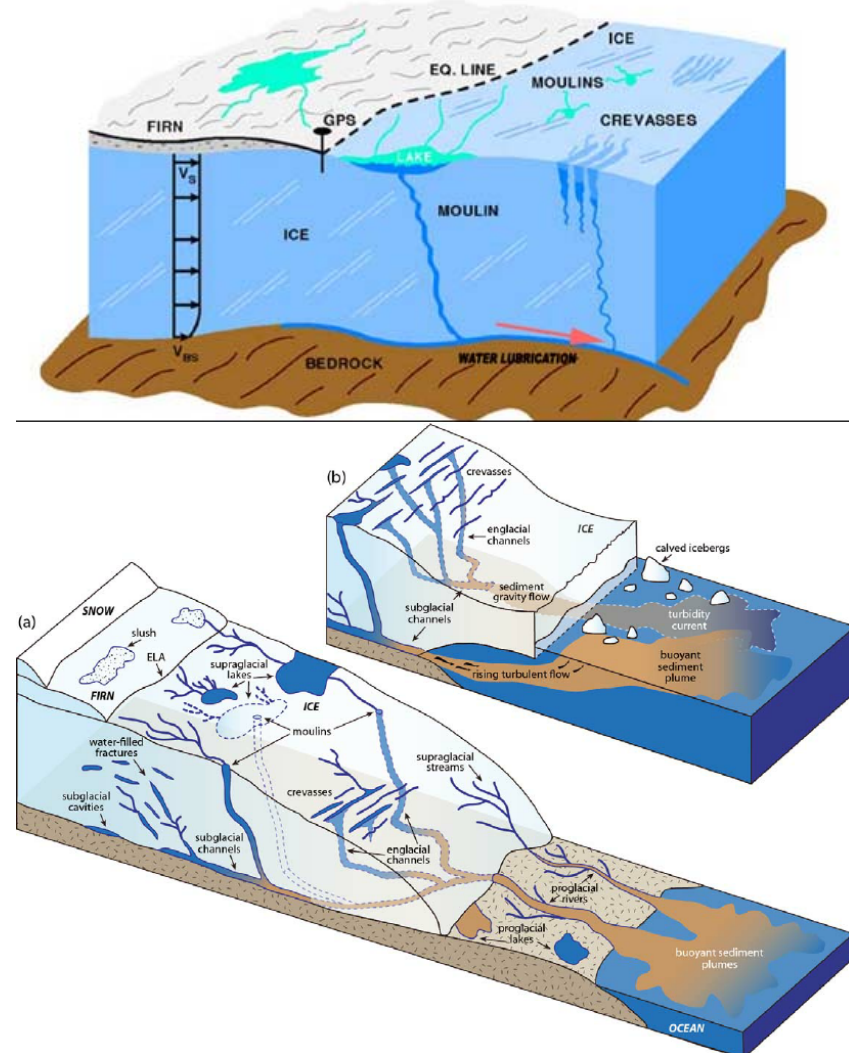
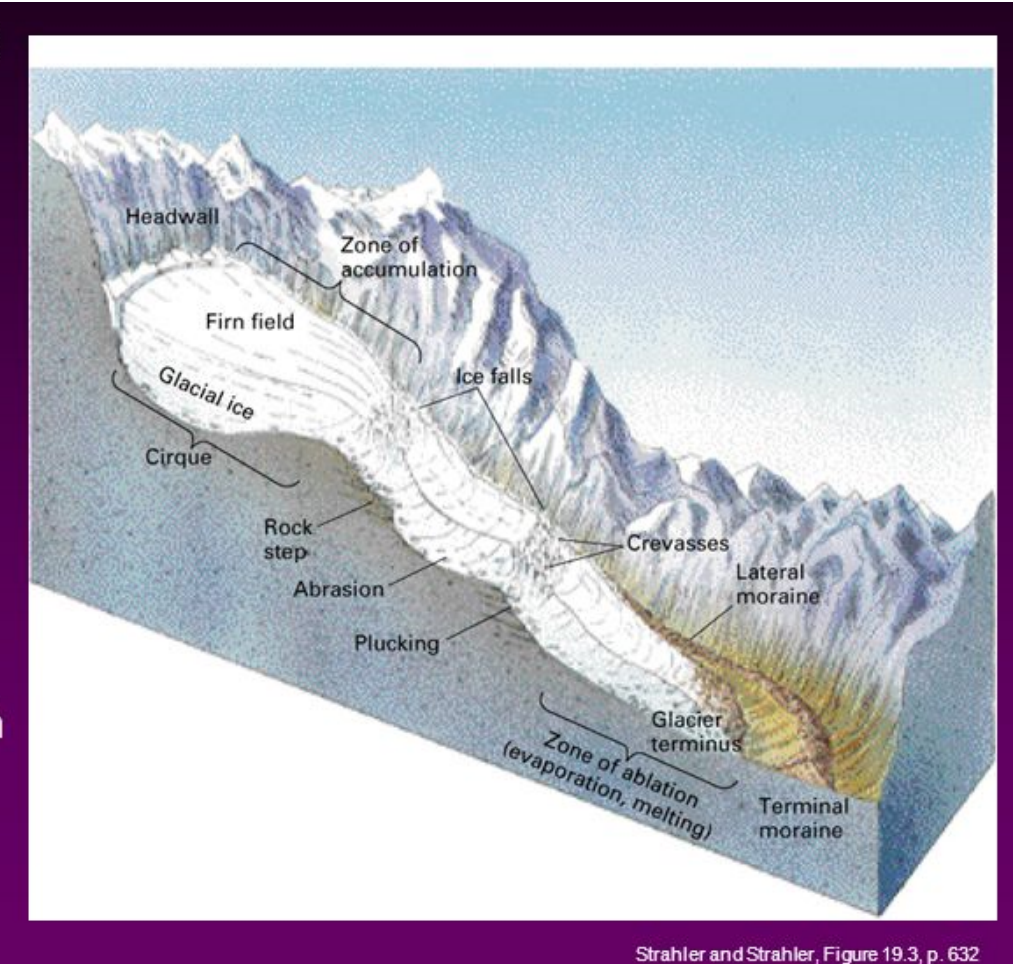


# I laghi epiglaciali

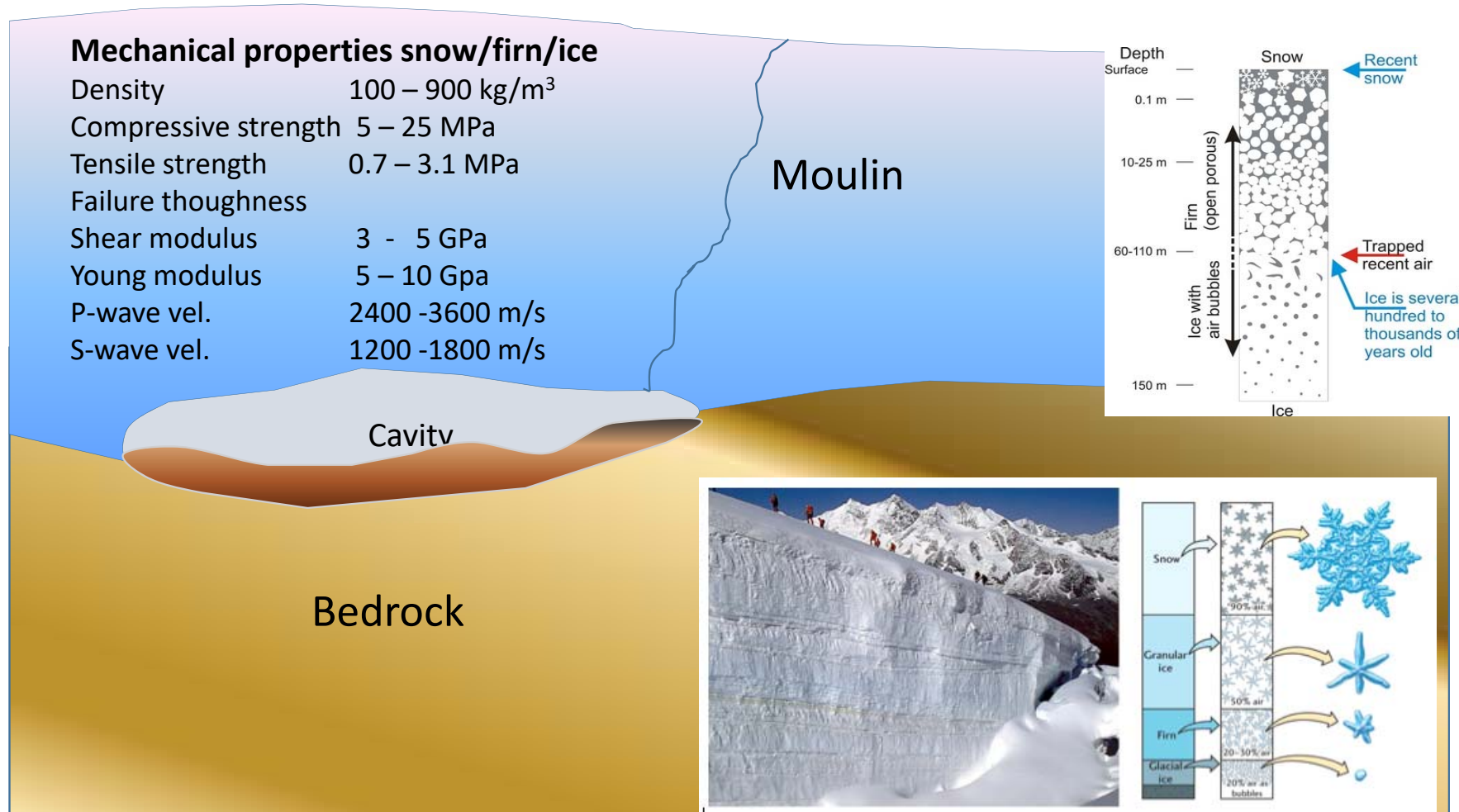


Il lago epiglacciale del Rocciamelone, in territorio francese ma appoggiato al confine Italia-Francia, già evidente nel 2000, fotografato nell'agosto 2001; a destra l'instabile argine glaciale che contiene il lago. Il rischio è accresciuto dalla possibilità che qualche iceberg blocchi il normale canale di deflusso del lago (verso l'Italia), causandone un incremento del livello. Il volume del lago crebbe fino al 2004, anno in cui il rischio di rottura della diga fece iniziare i lavori di svuotamento.

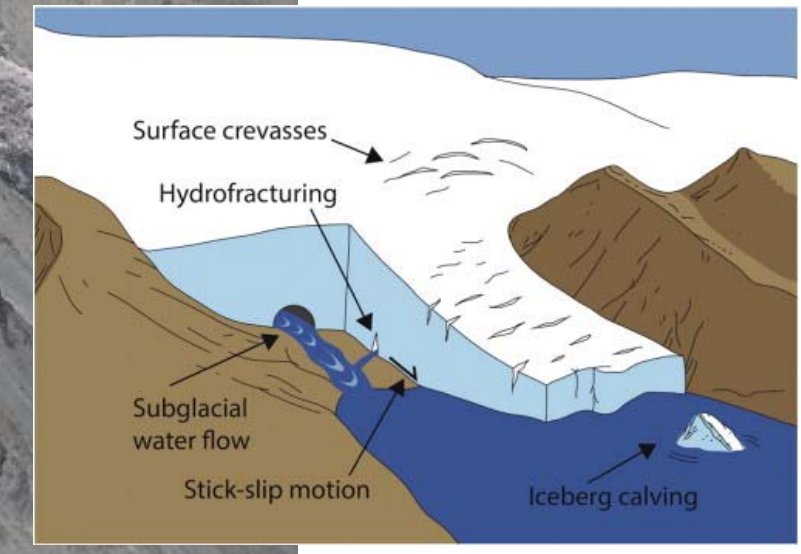
# Strutture glaciali e endoglaciali



# Schema proprietà meccaniche neve/ghiaccio

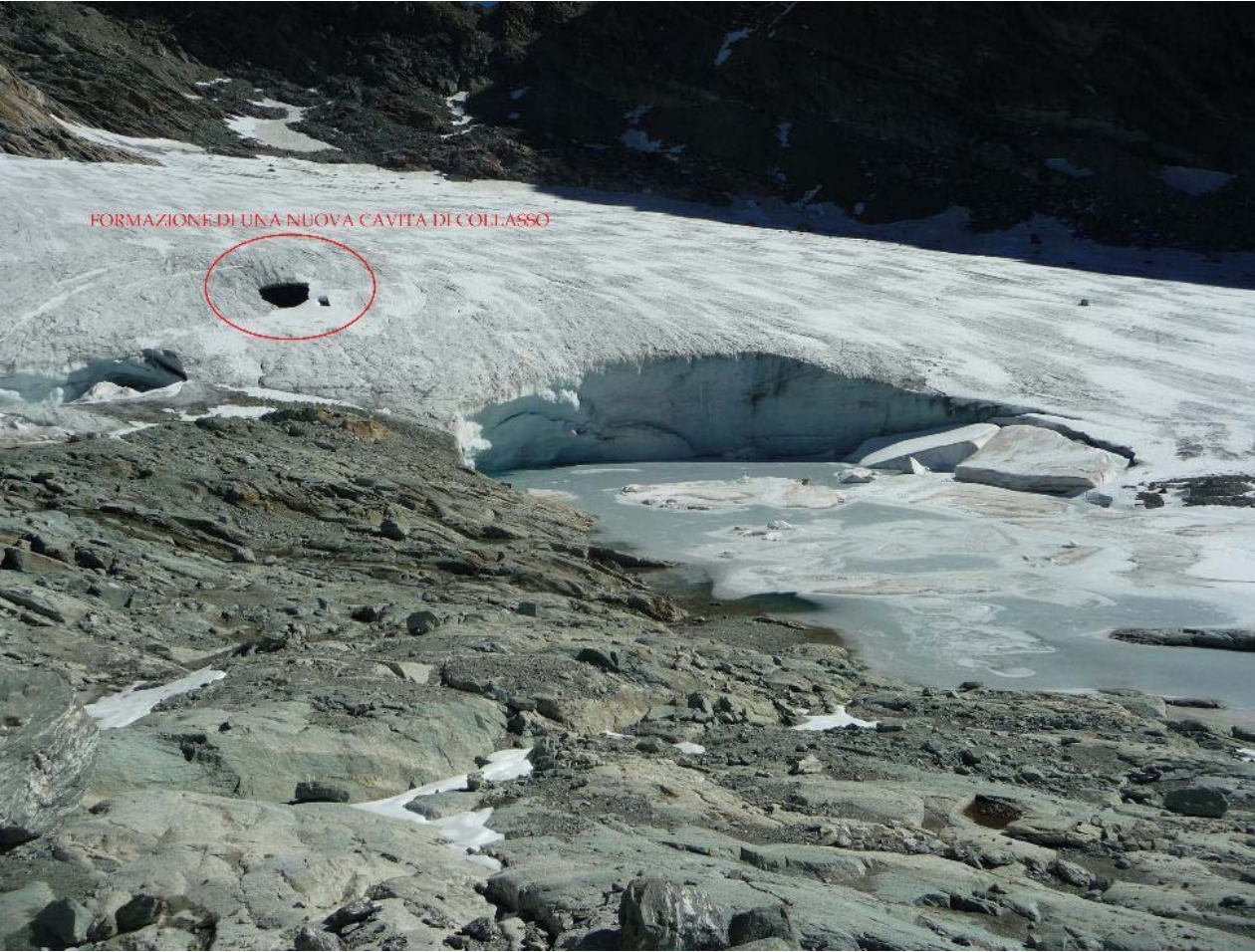


# Mont Gelè (VdA)



# Effetti di deglaciazione

---



Ghiacciaio Mont Gelè – VdA fenomeni di escavazione endoglaciale, crolli e formazioni di laghi epiglaciali (foto Fondazione Montagna Sicura)

# Effetti di deglaciazione

---



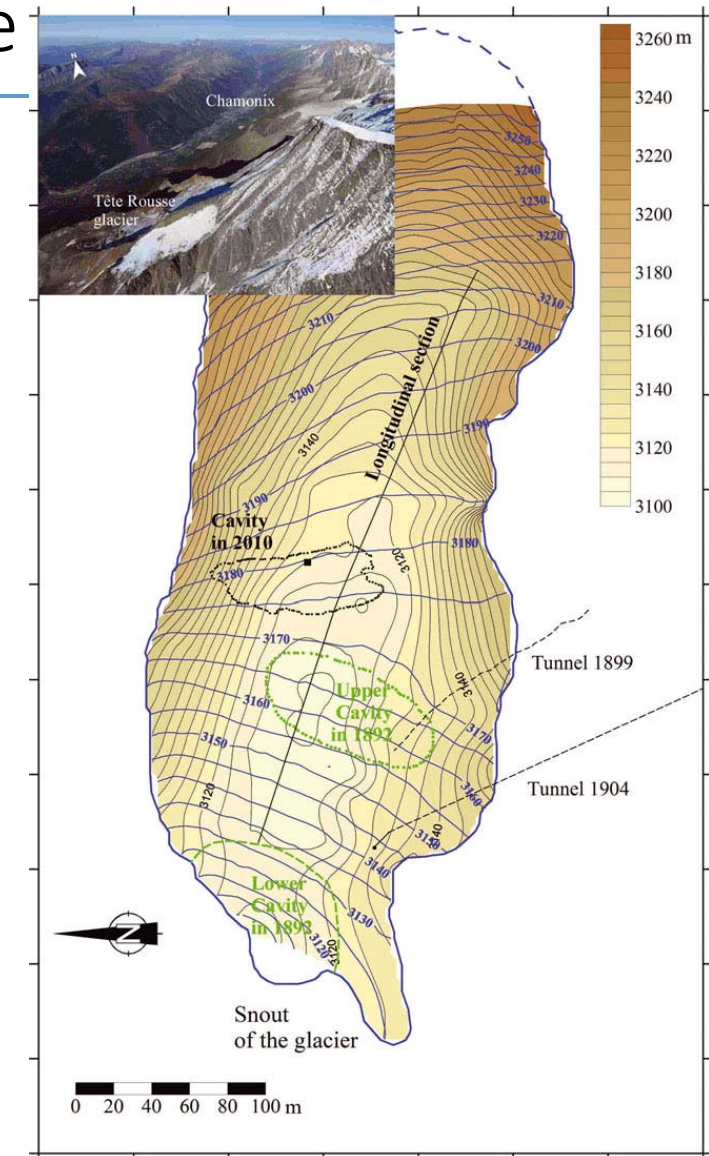
Ghiacciaio Mont Gelè – VdA - 2008

GNGTS 2015 - Lectio M. - Criogeofisica - A.Godio

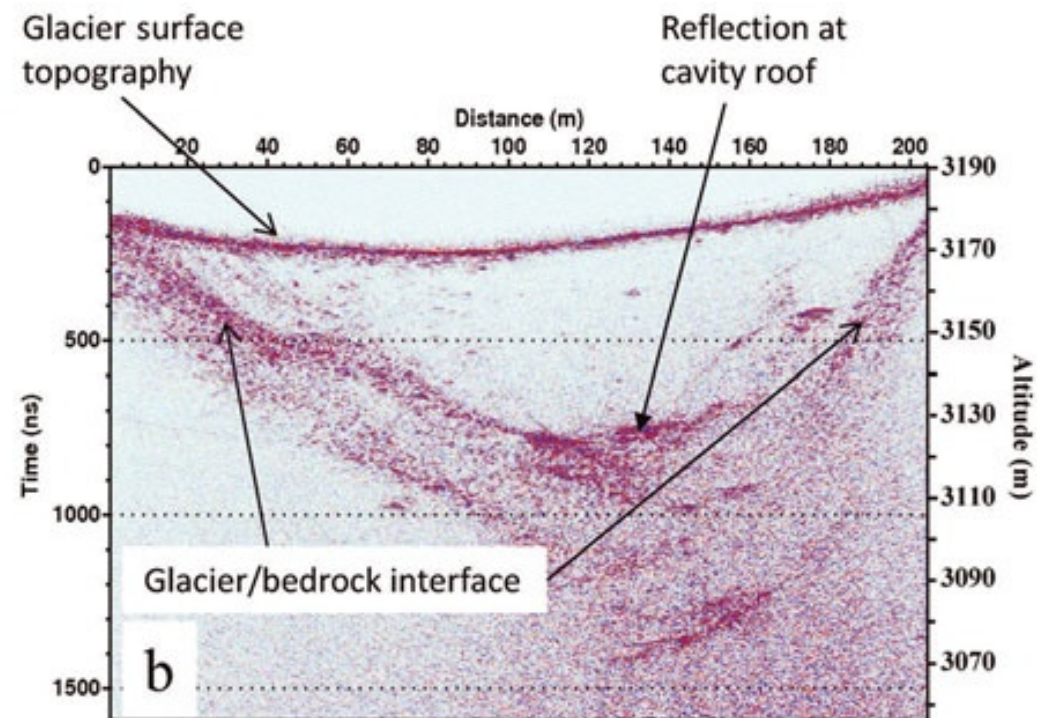
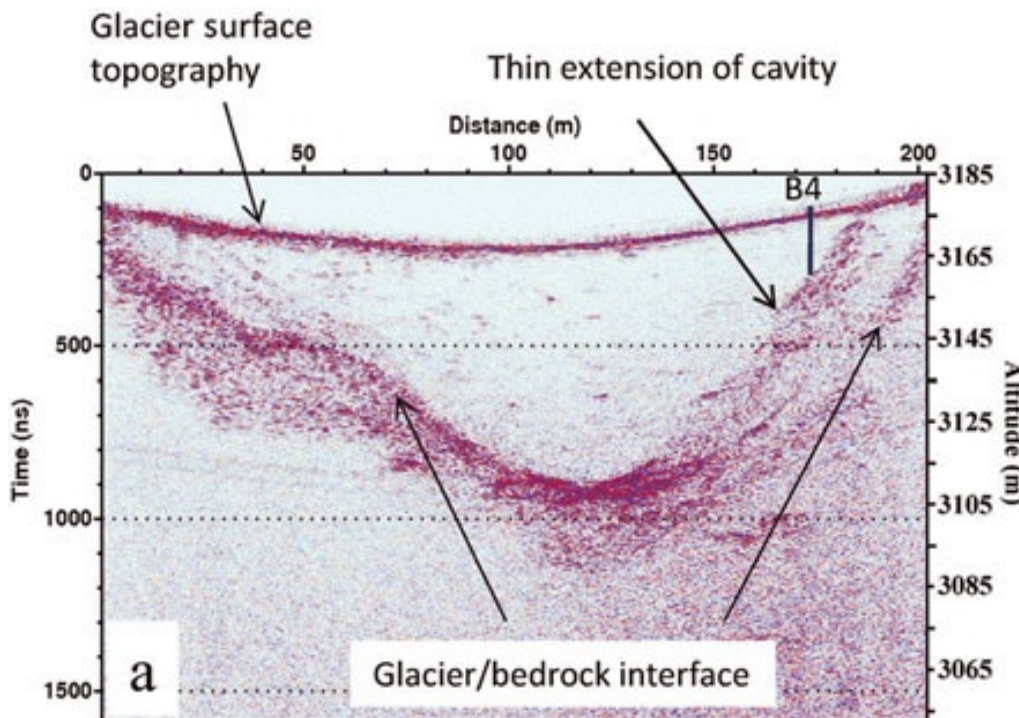
# Cavità endoglaciali – Ghiacciaio Tete Rousse



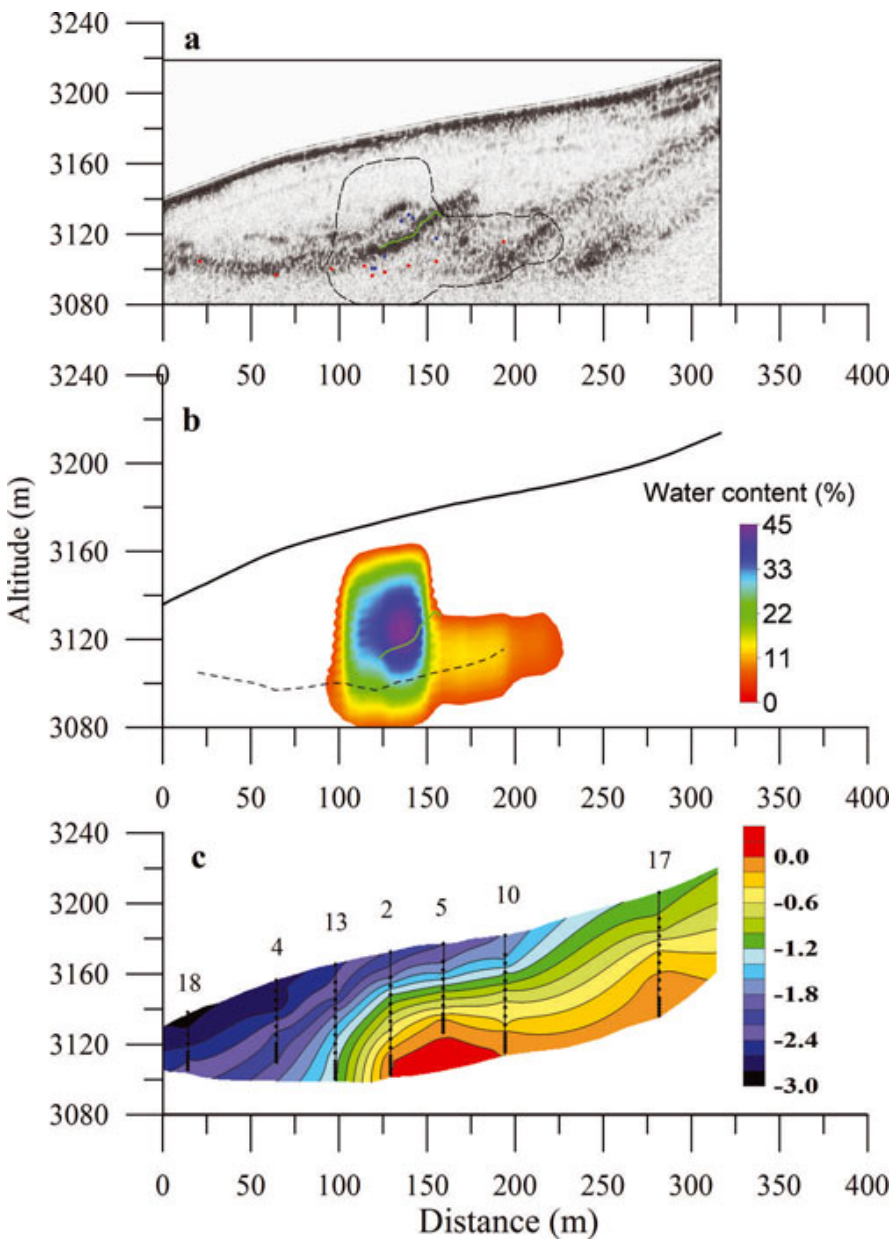
- Nel **1892**, collasso di cavità endoglaciale, circa  $100.000 \text{ m}^3$  di acqua si riversarono a valle
- Nel **2010**, individuazione di una nuova cavità di circa  $50.000 \text{ m}^3$



# Ghiacciaio Tete Rousse - GPR



South–north GPR data displayed in the two-way travel time domain using a 100 MHz antenna on cross sections (a) 10 and (b) 9 after migration and static corrections (the north direction is to the right) (after Vincent et al., 2012).



Longitudinal section of the glacier:

**(a)** Depth radar image derived after applying static correction and migration processes to the data (wave propagation velocity in ice of  $16.8 \text{ cm ns}^{-1}$ ).

The **red dots** correspond to the bottoms of the boreholes (note the out-of-plane offset of the boreholes from the profile line).

The **blue dots** correspond to the cavity roof obtained from boreholes.

The **green line** shows the roof of the cavity obtained from sonar measurements.

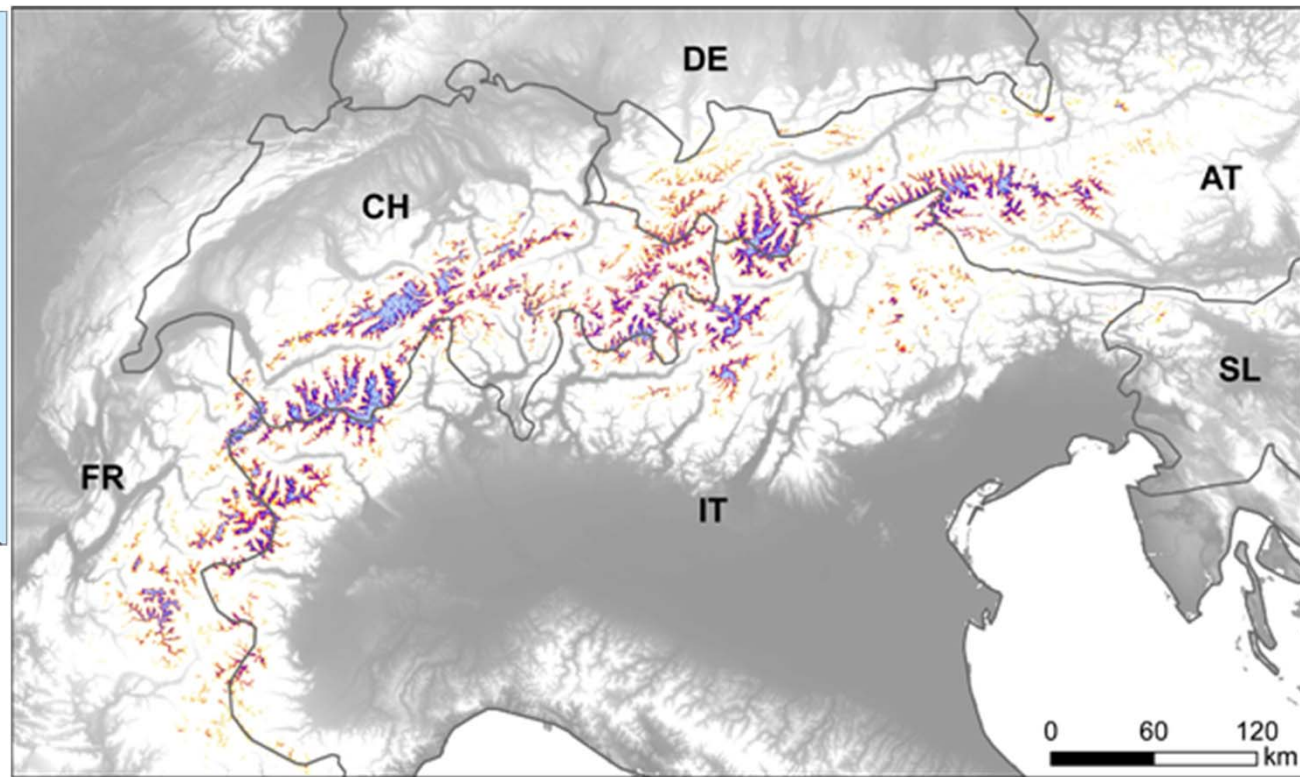
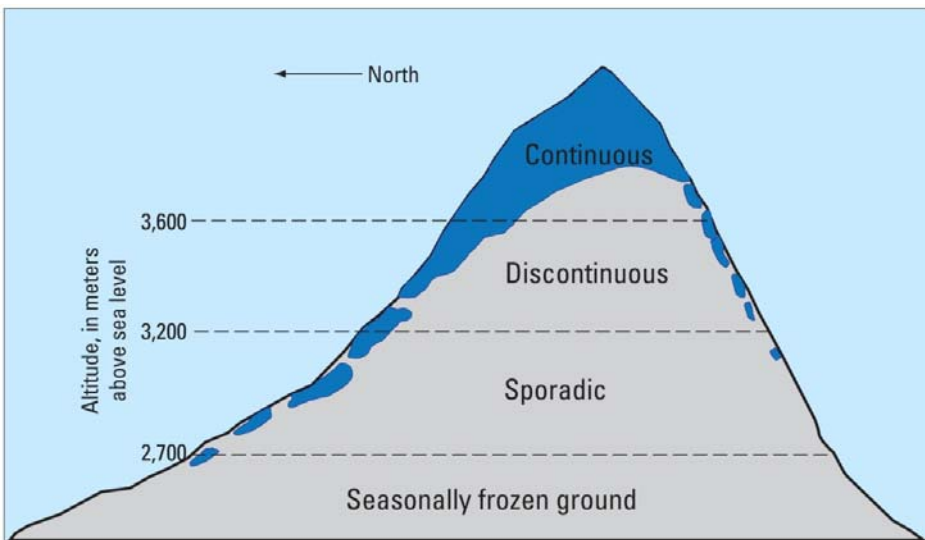
The **black dashed line** corresponds to the outline of the water distribution drawn in (b).

**(b)** Distribution of the modelled water content within the glacier along the longitudinal section and derived from **3-D-SNMR inversion**. The dashed line corresponds to bedrock.

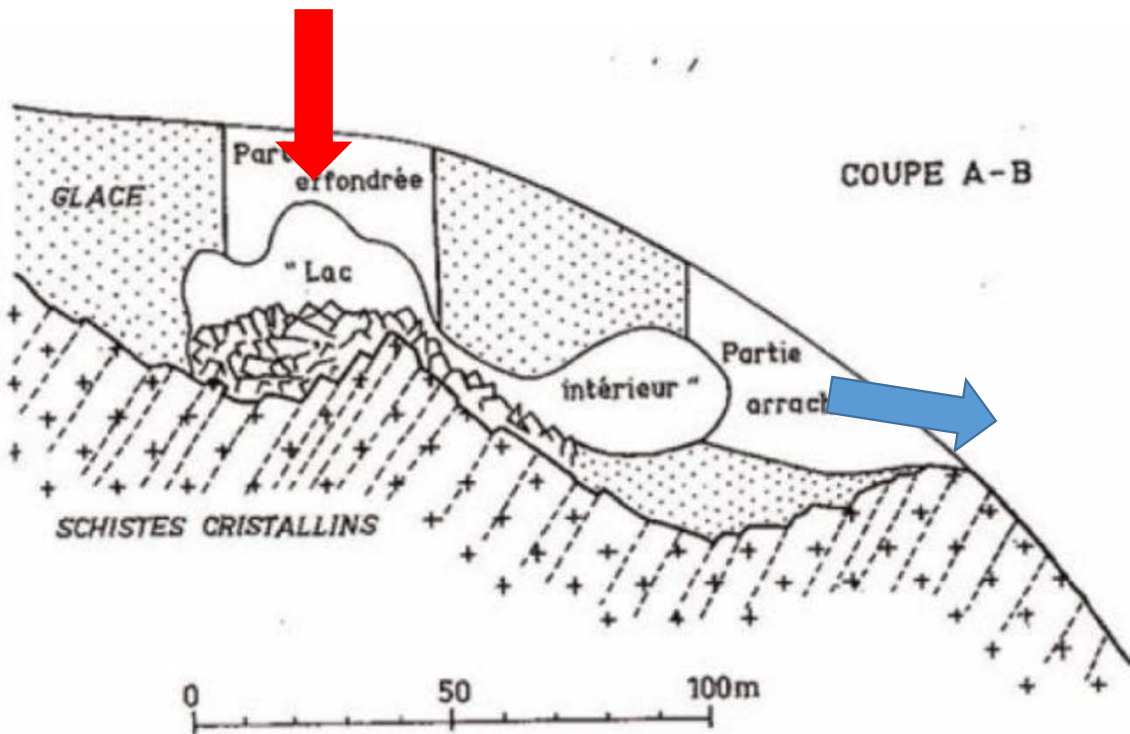
**(c)** Ice temperature. Data have been interpolated from measurements (black dots) performed in boreholes.

# Permafrost nelle regioni alpine

---



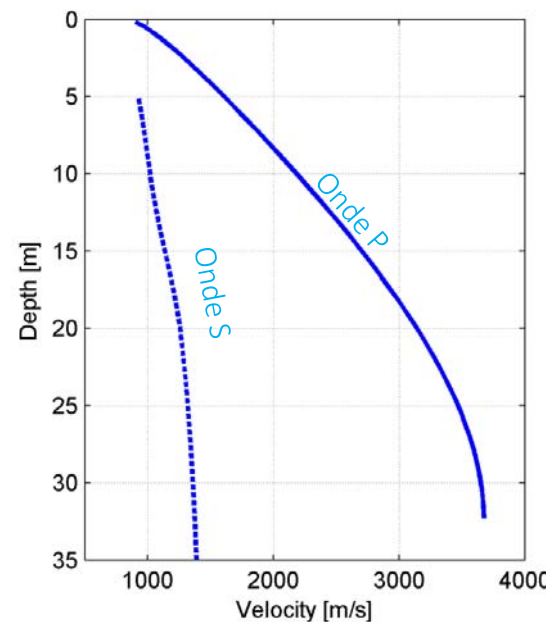
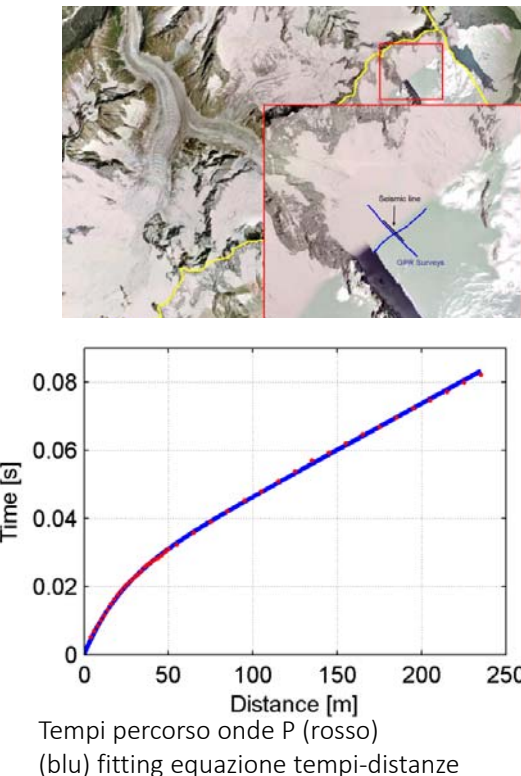
# Modello di collasso – Tete Rousse (1892)



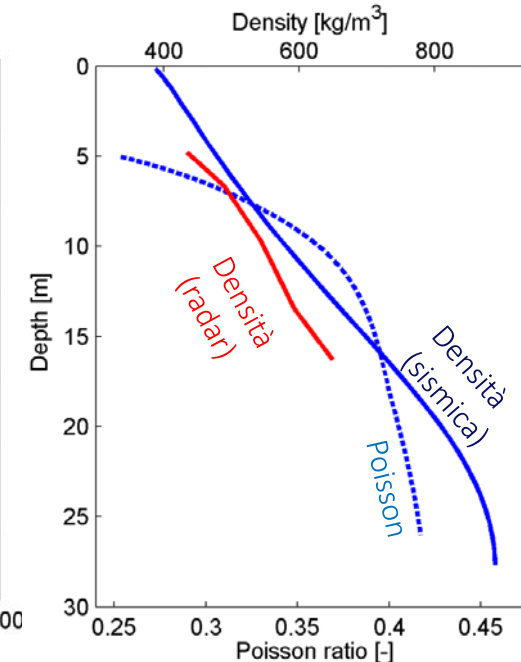
- Dinamica della rotta glaciale di Tête Rousse del 1892 (modificato da Vincent et Al. 2010).
- In rosso evidenziato il crollo del tetto della cavità ed in blu la direzione del flusso della rotta glaciale.

# Caratterizzazione proprietà meccaniche (Pre de Bar)

Misure onde P e onde superficiali permettono di ricavare modulo di compressione, taglio e coefficiente di Poisson

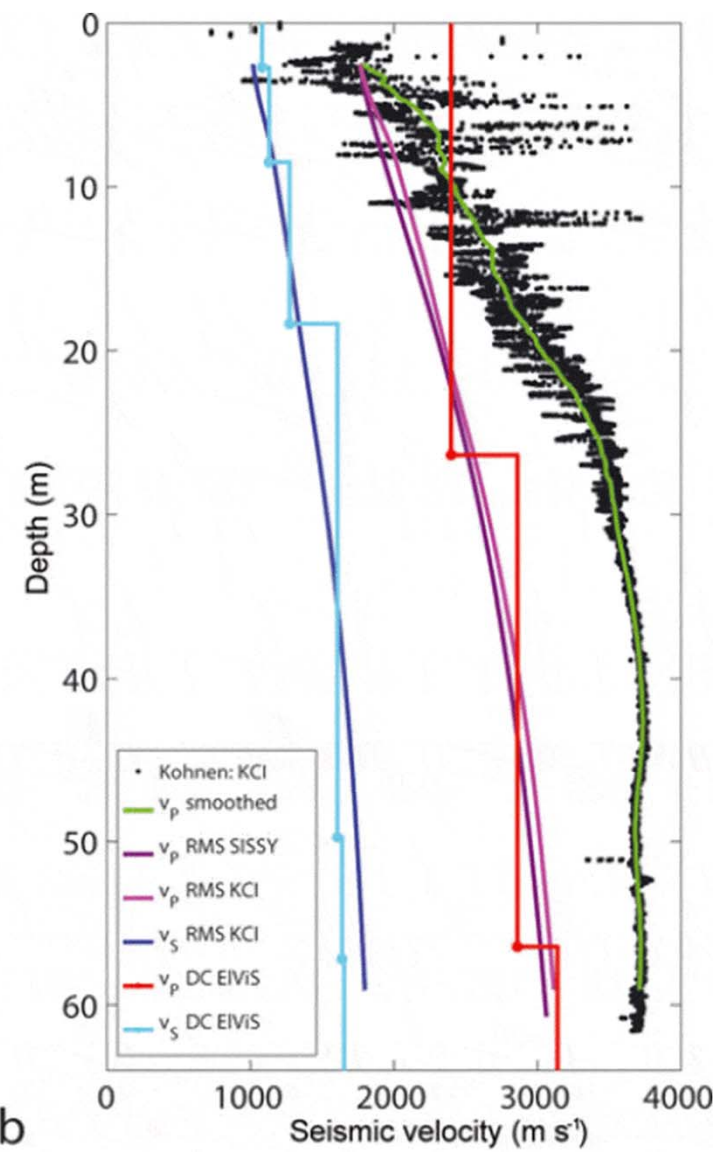
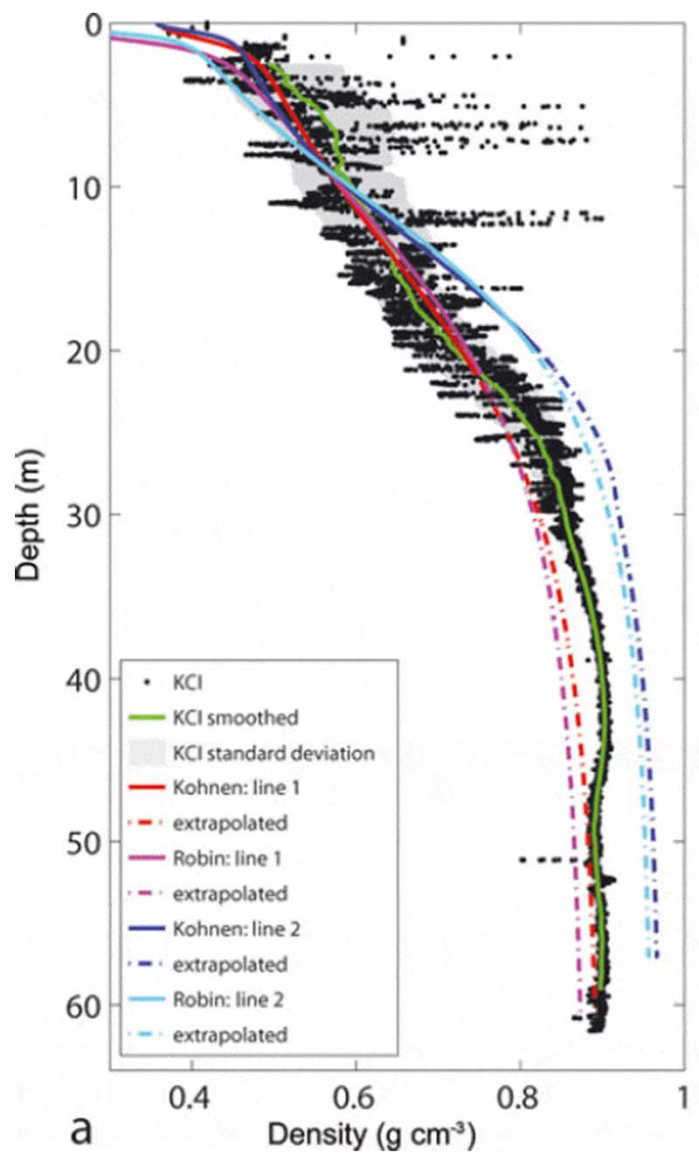


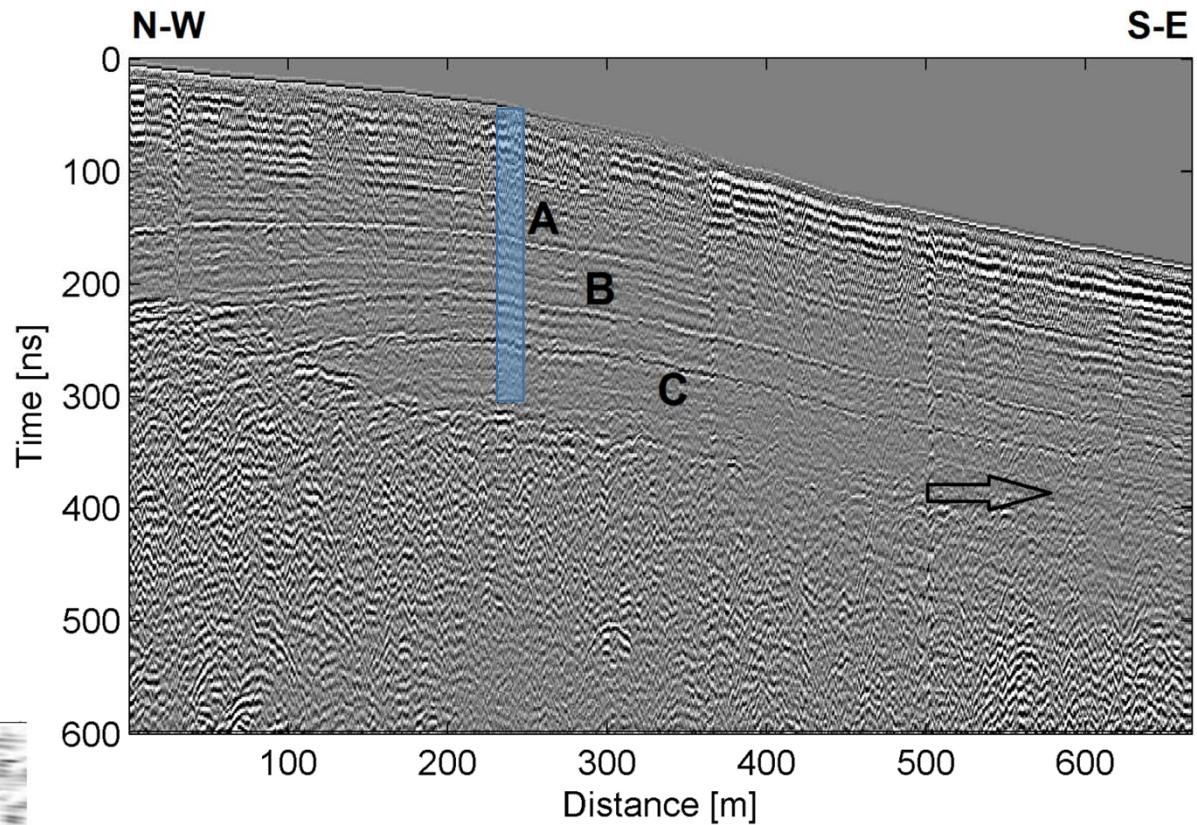
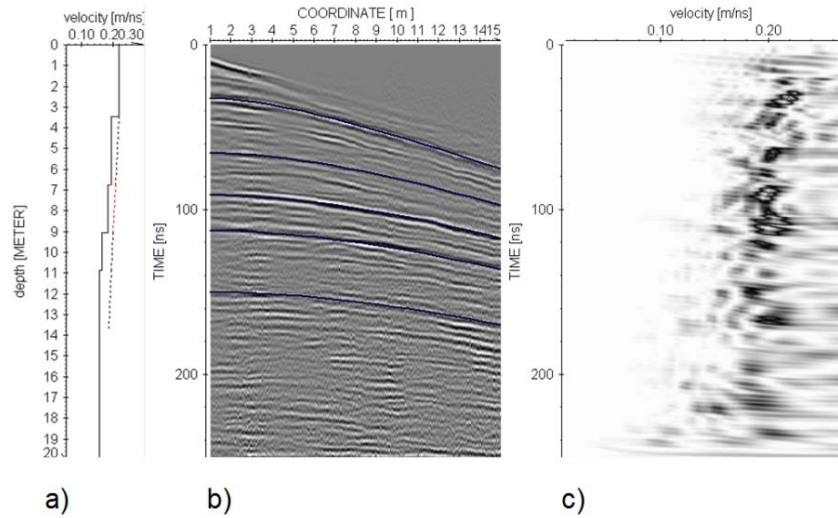
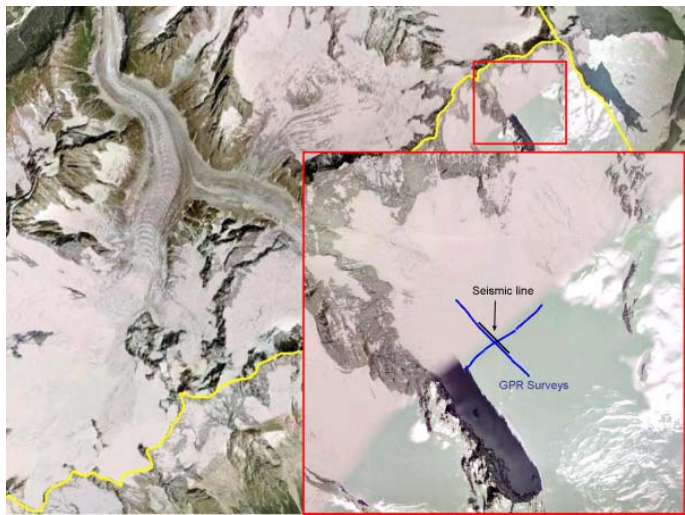
Onde S stimate da elaborazione  
risposta onde superficiali



$$\rho(z) = 0.915 \left( 1 + \left( \frac{V_{p,ice} - V_p(z)}{2.25} \right)^{1.22} \right)^{-1}$$

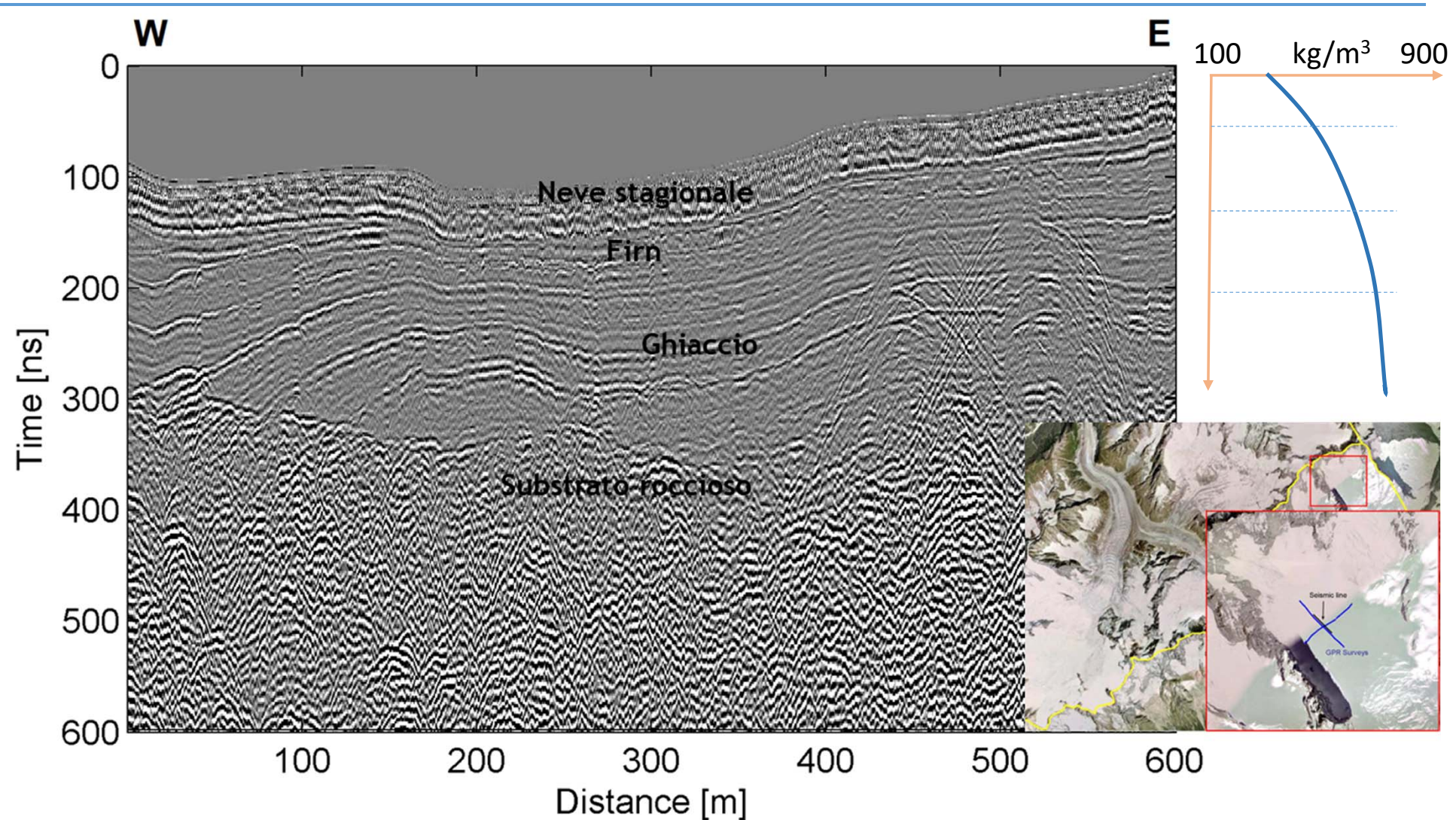
$$\sigma = \frac{V_p^2 - 2V_s^2}{2(V_p^2 - V_s^2)}$$





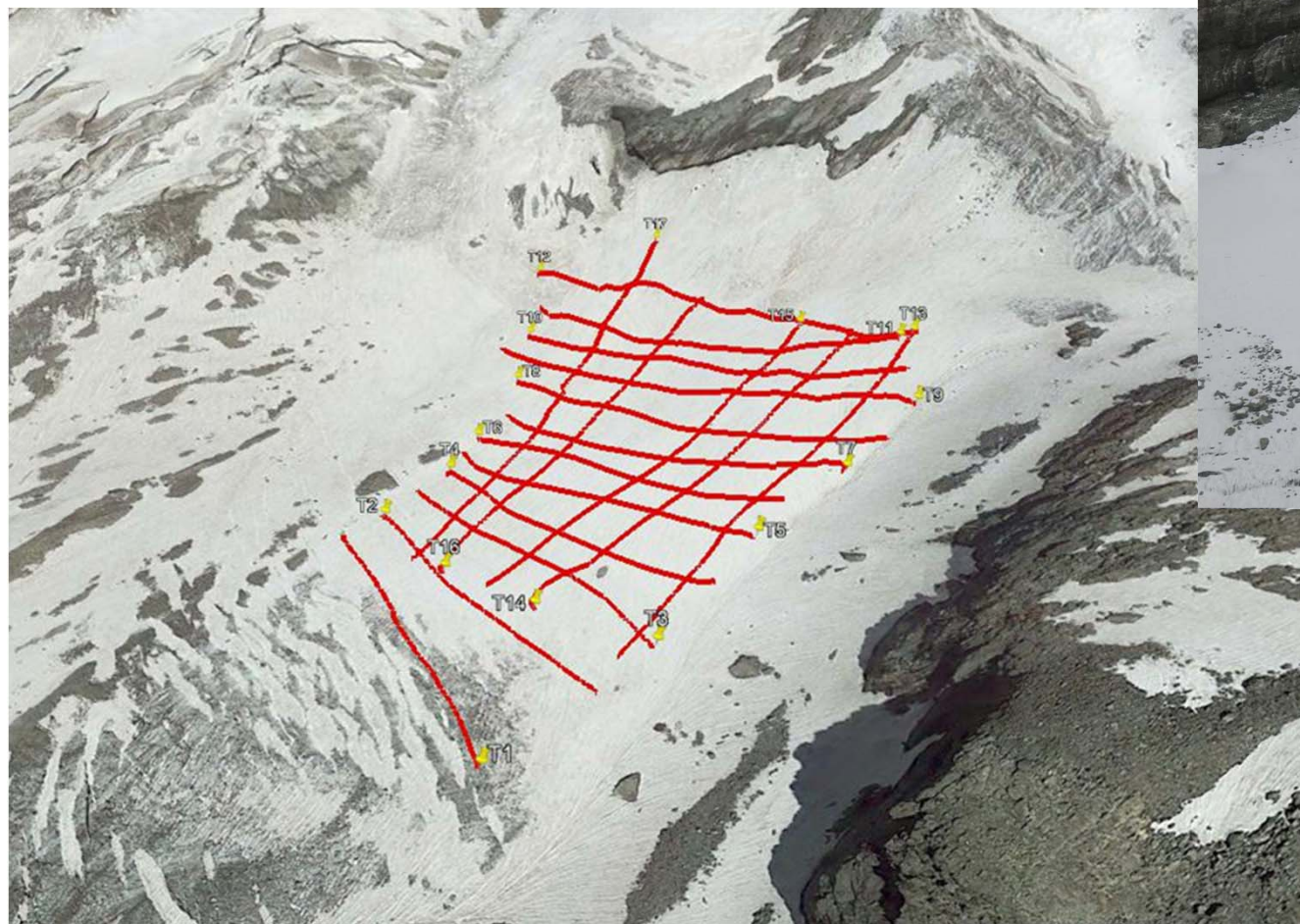
Processing: Semblance analysis of WARR data to retrieve vertical velocity profile  
A – snow/firn; B – granular ice; C - ice

# Pre de Bar – Profilo densità





# Cherillon (2017) – Valtournanche - Cervinia



Acquisizione GPR – 200 MHz  
- Ottobre 2017

Caratterizzazione spessore e  
eventuale identificazione di  
strutture endoglaciali

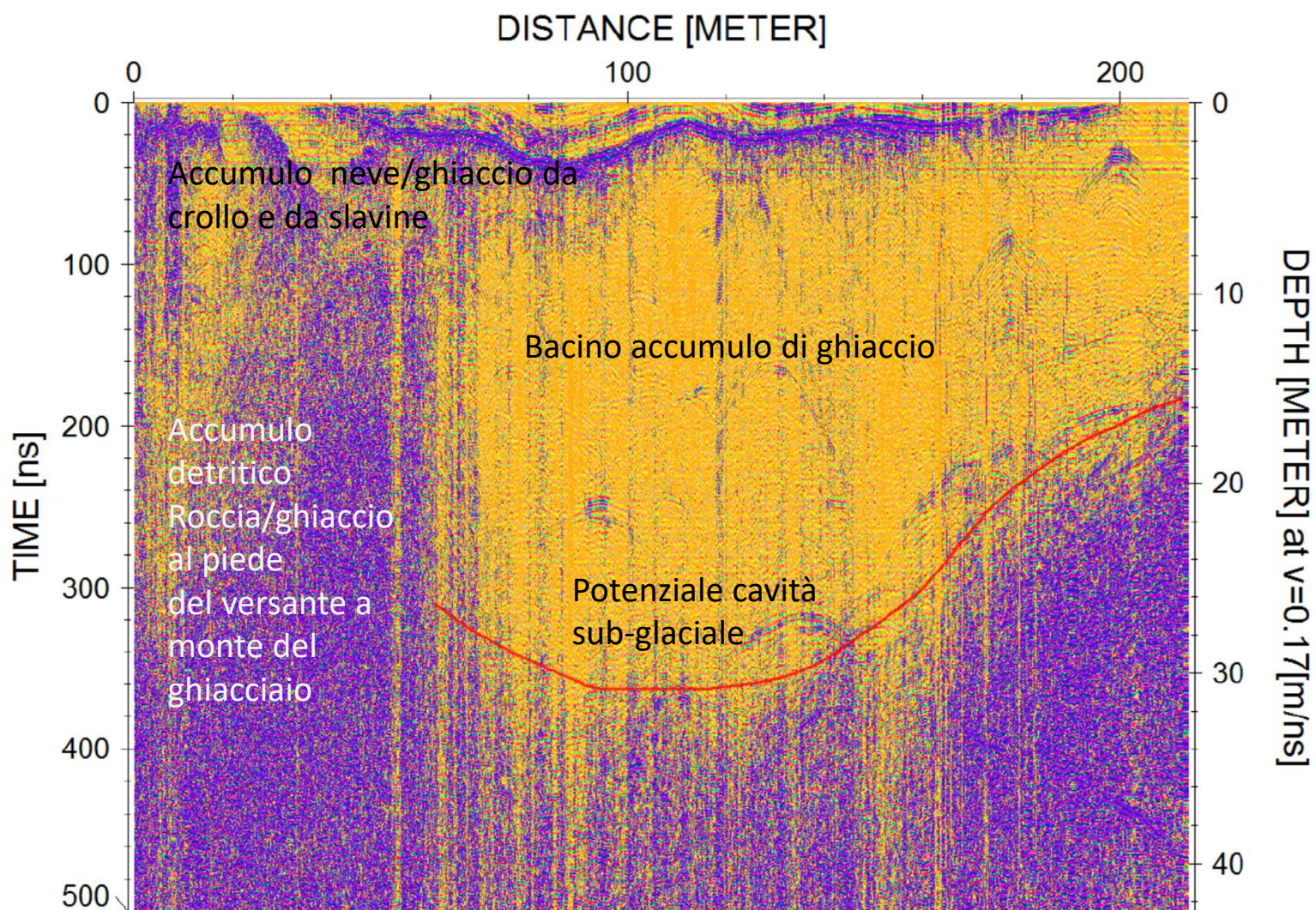


Figura A9: traccia radar 9

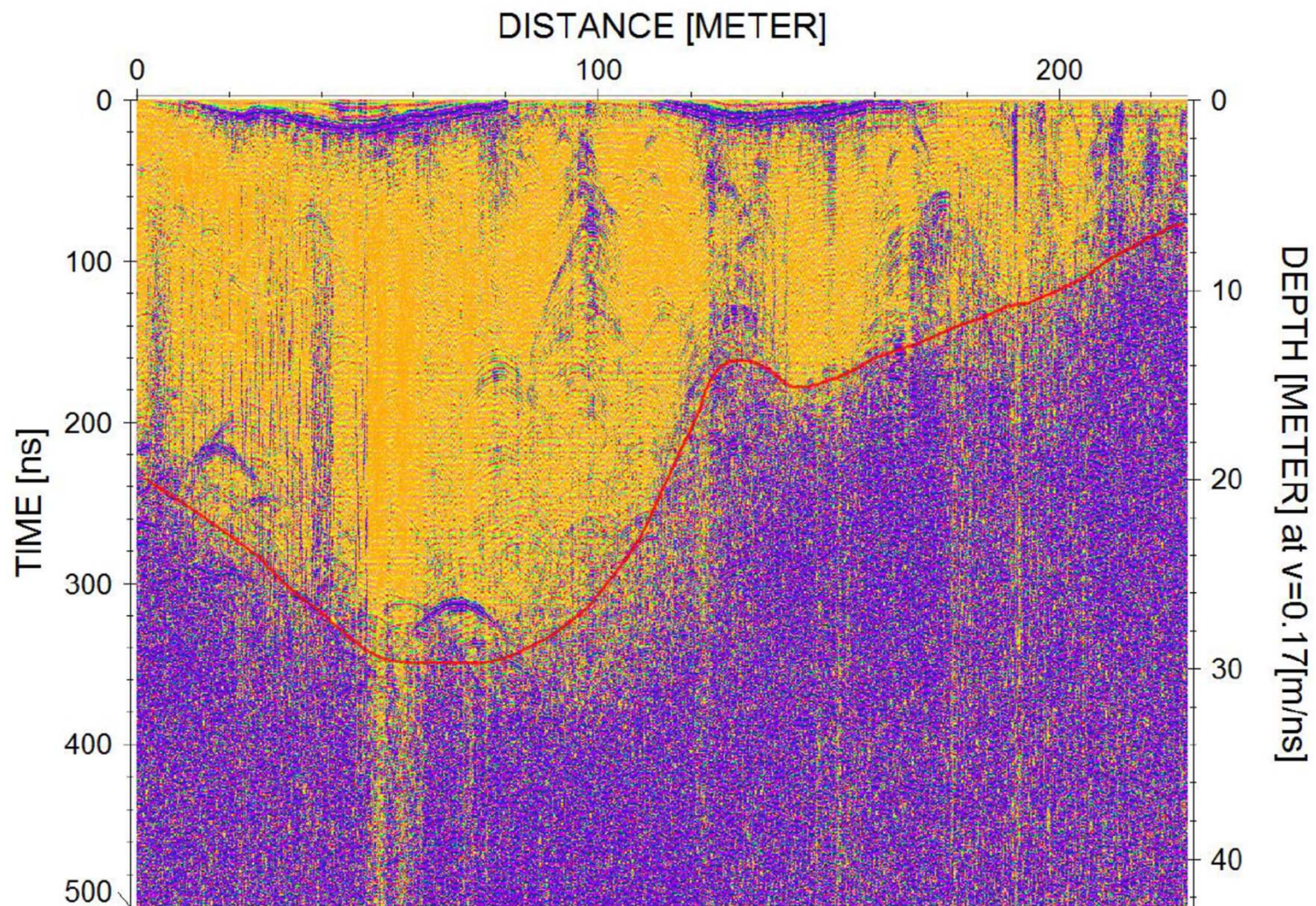
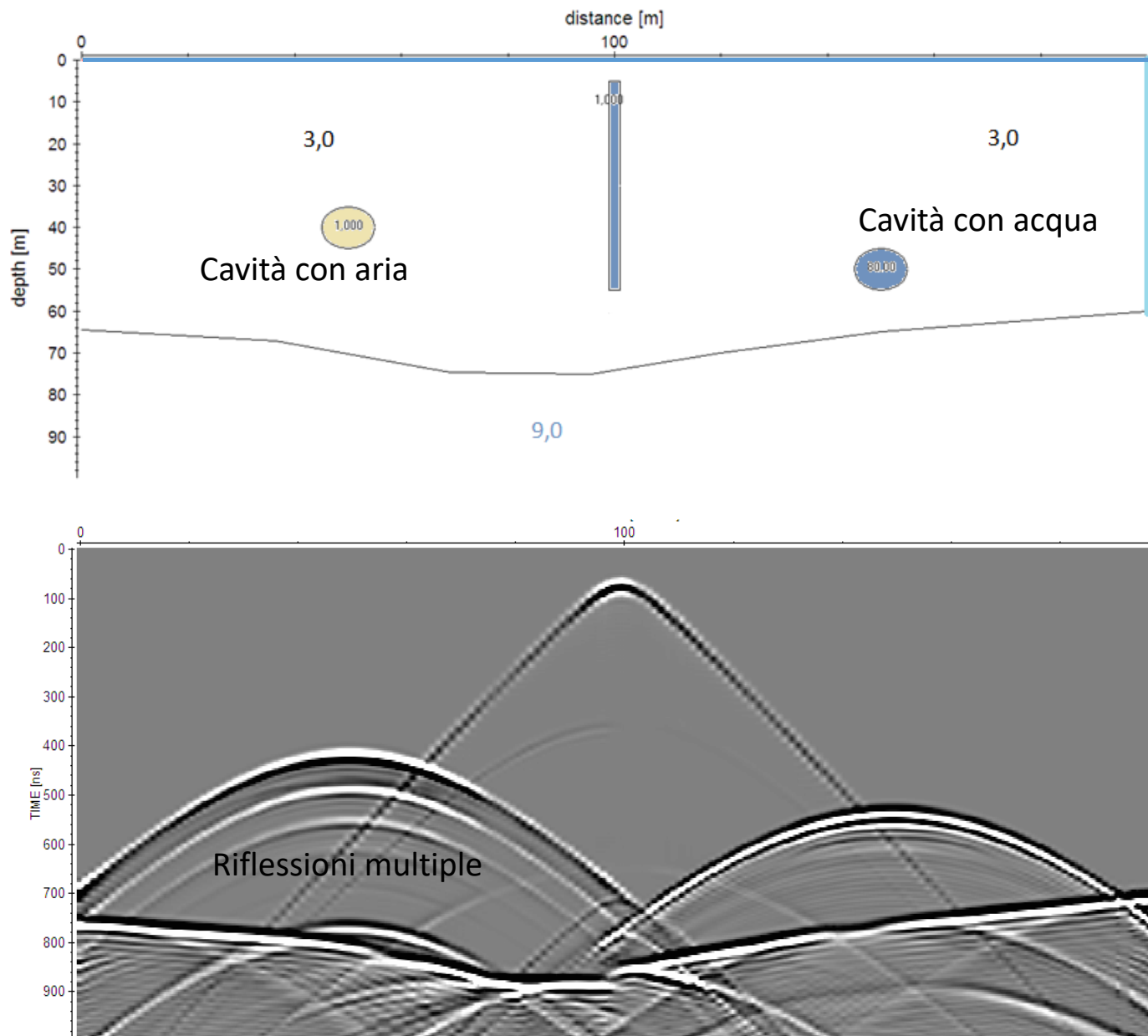


Figura A14: traccia radar 14

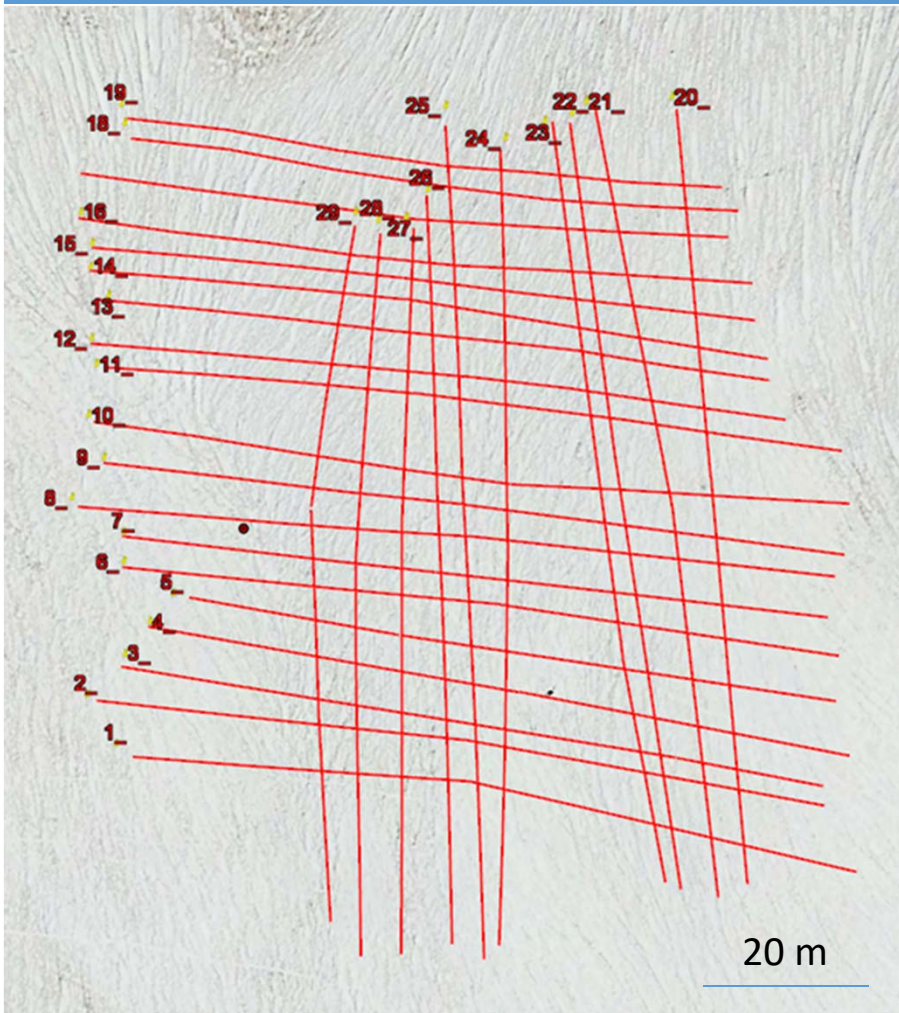
# Modellazione risposta georadar (200 MHz)



Simulazione risposta di cavità riempite di aria a sinistra e acqua a destra; la struttura verticale simula un crepaccio.

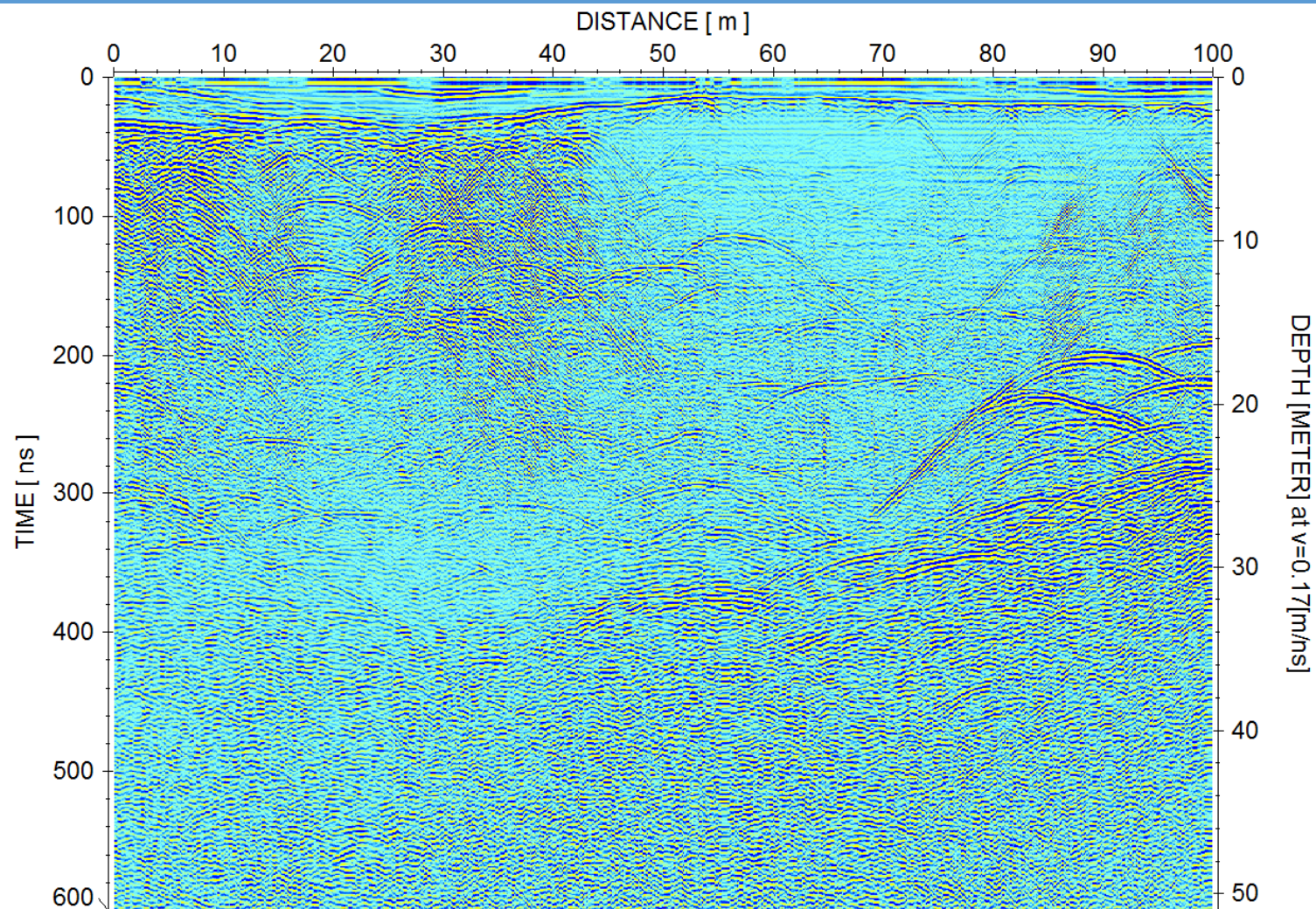
I valori di permittività elettrica: ghiaccio =3, aria =1, acqua = 80; substrato roccioso =9.

# Cherillon (2017) – Valtournanche - Cervinia

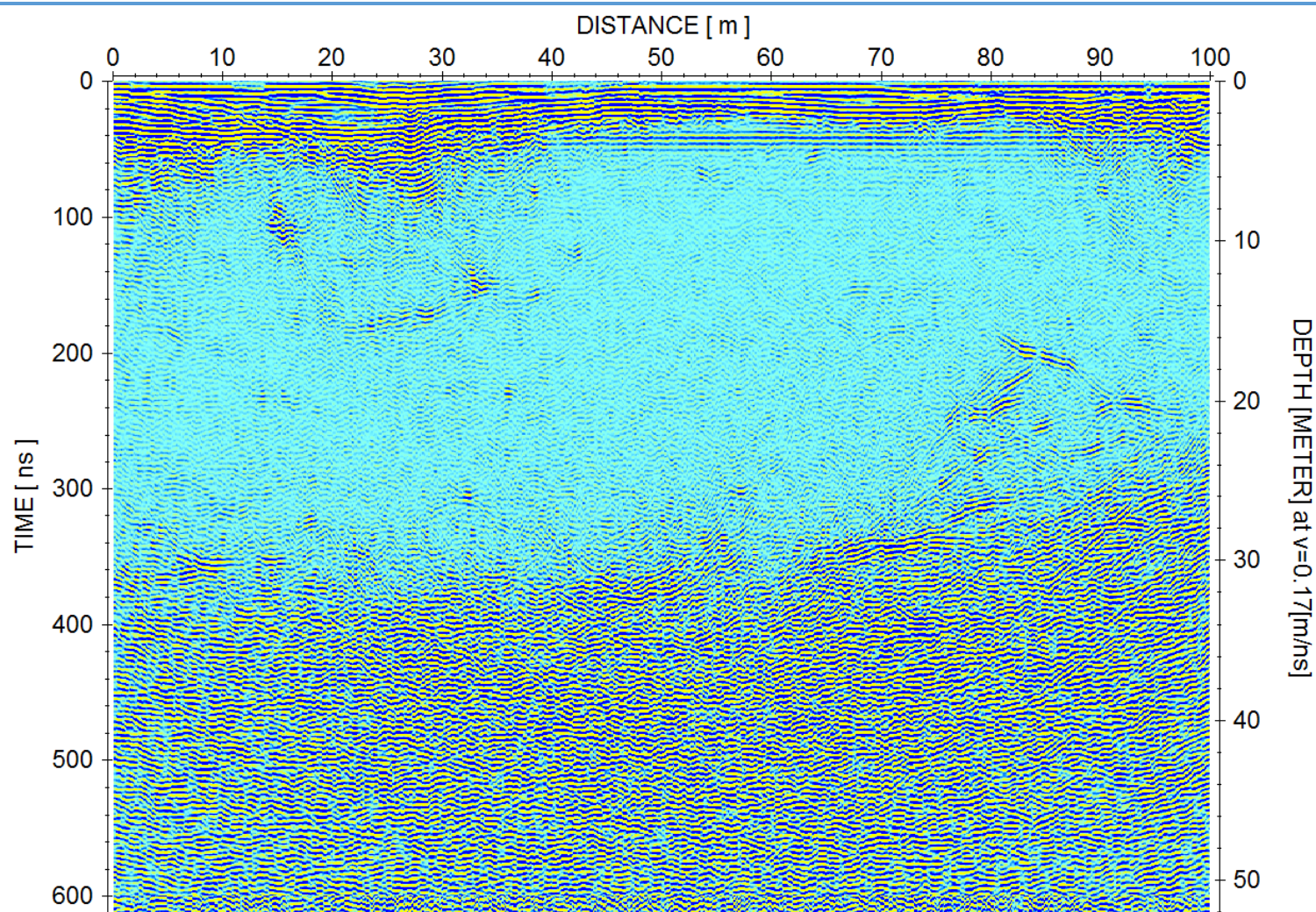


Novembre 2017:  
seconda fase di  
acquisizione per analisi di  
dettaglio delle principali  
strutture endoglaciali  
GPR – 200 MHz

# Cherillon (2017) – Valtournanche – Cervinia (Line 18)

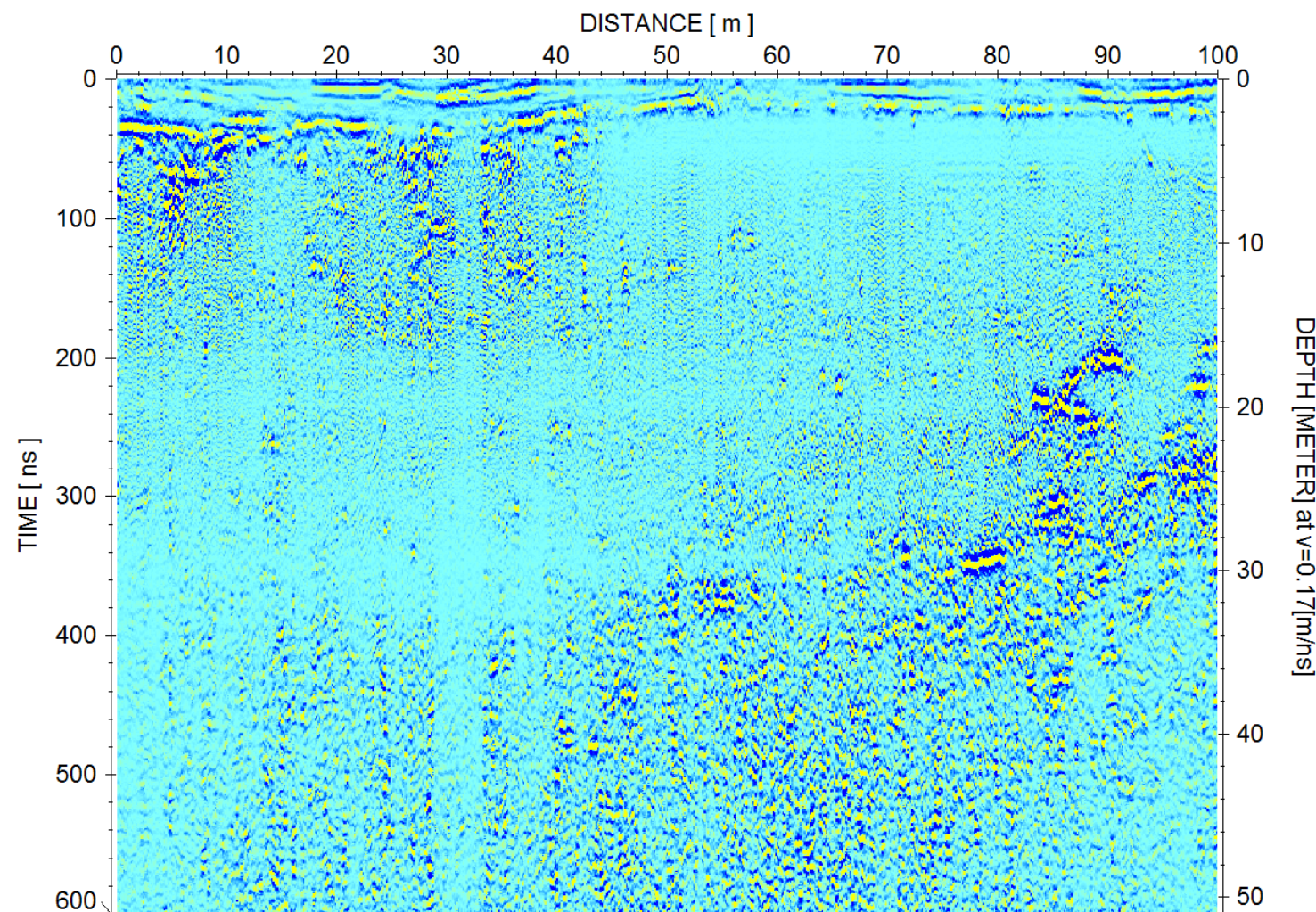


# Cherillon (2017) – Valtournanche - Cervinia



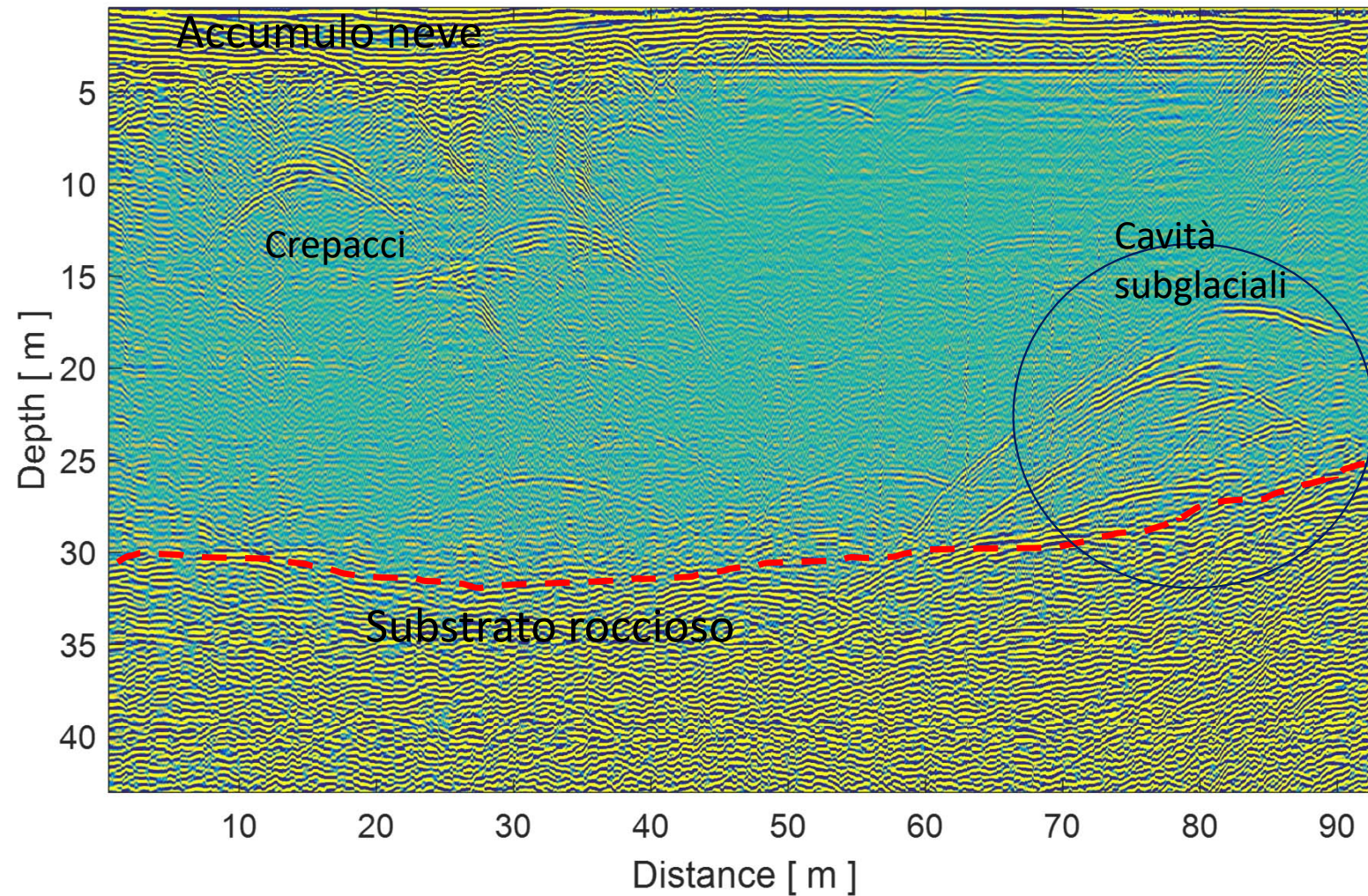
# Cherillon (2017) – Valtournanche - Cervinia

---

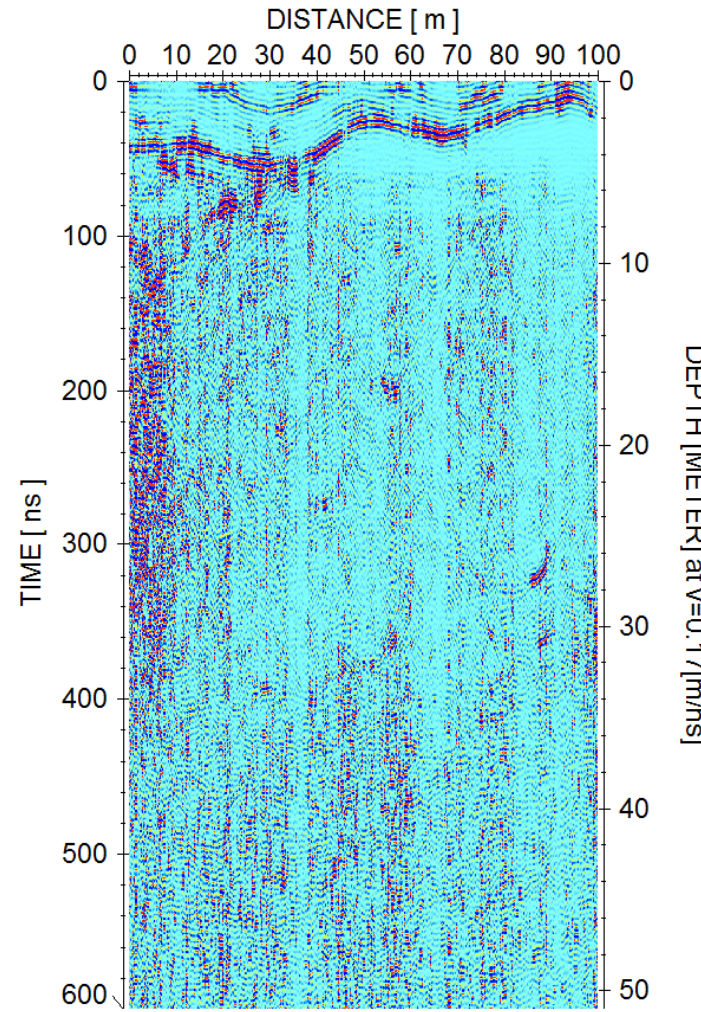
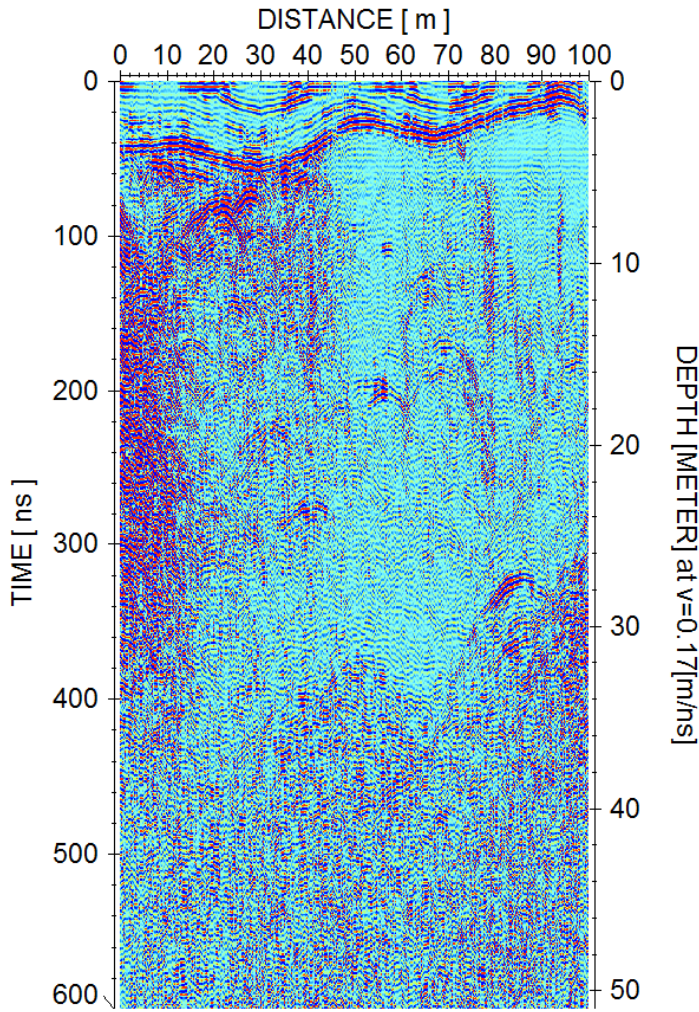


# Cherillon (2017) – Valtournanche - Cervinia

---



# Cherillon (2017) – Valtournanche - Cervinia

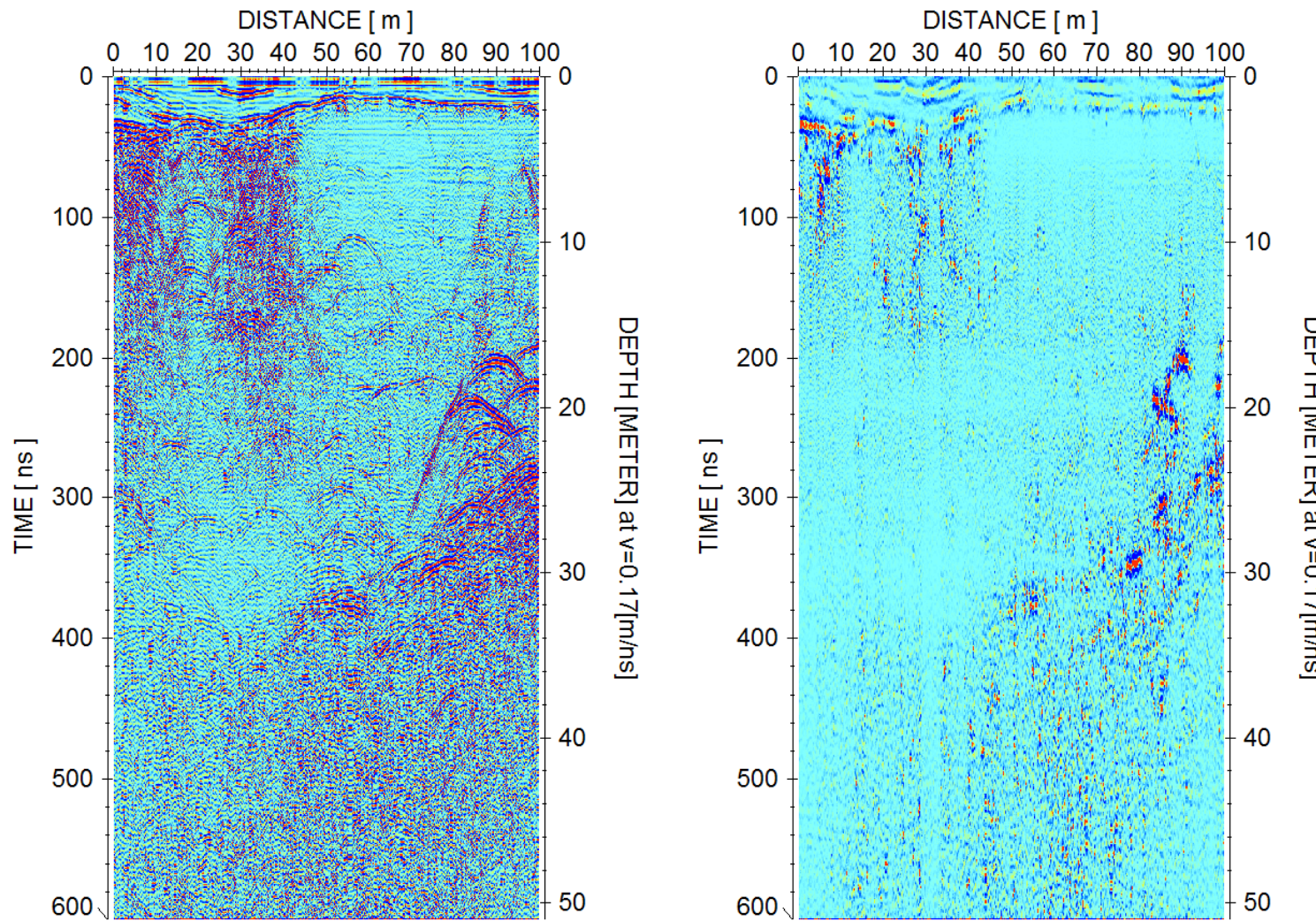


Novembre 2017: seconda fase di acquisizione per analisi di dettaglio delle principali strutture endoglaciali

GPR – 200 MHz – Linea 7

- a) sezione grezza
- b) Sezione filtrata, migrata

# Cherillon (2017) – Valtournanche - Cervinia

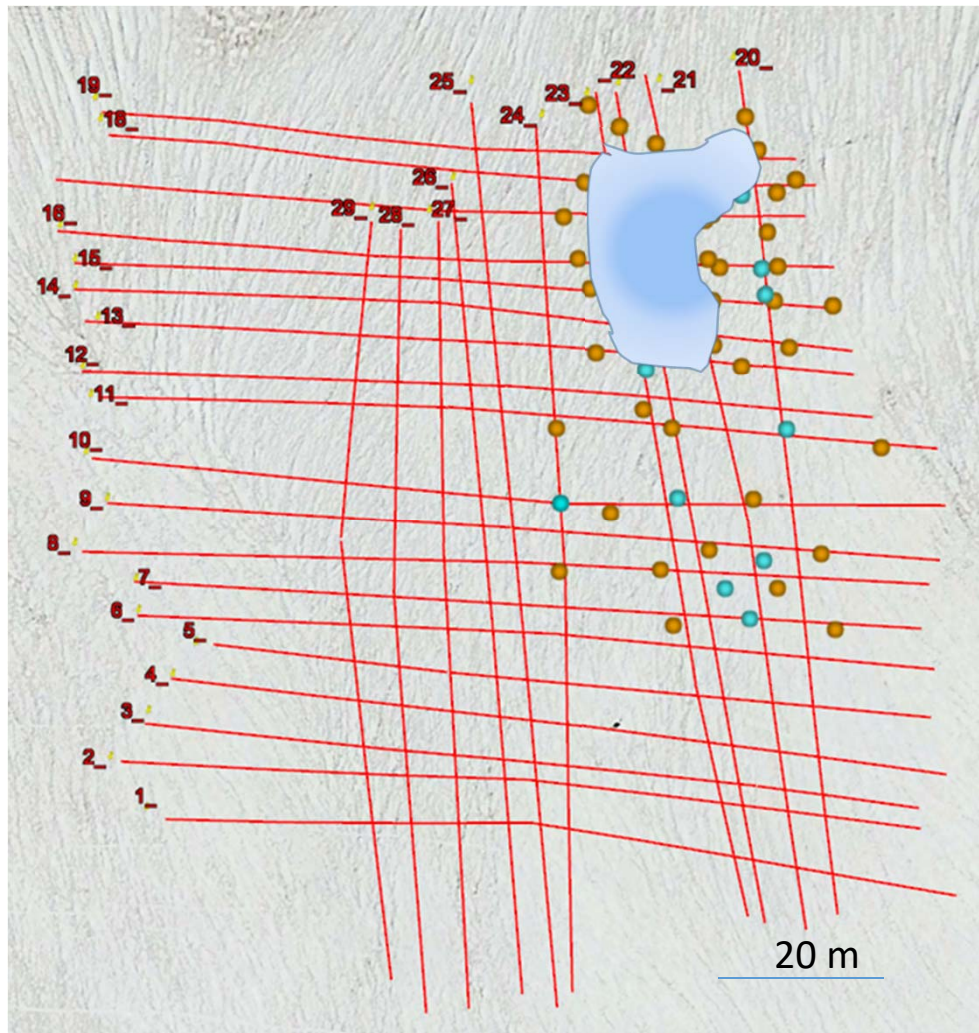


Novembre 2017: seconda fase di acquisizione per analisi di dettaglio delle principali strutture endoglaciali

GPR – 200 MHz – Linea 18

- a) sezione grezza
- b) Sezione filtrata, migrata

# Cherillon (2017) – Valtournanche - Cervinia



Novembre 2017: seconda fase di acquisizione per analisi di dettaglio delle principali strutture endoglaciali

GPR – 200 MHz

Picking delle principali riflessioni/difrazioni a profondità 15-20 m

Volumi stimati: 2500 m<sup>3</sup>



Ghiacciaio di Rochefort (Val Ferret) – Foto. F. Troglio

# Approfondimenti

---

- Forte E., Pipan M., Francese R., Godio A.; 2015: An overview of GPR investigation in the Italian Alps. *First Break*, 33, 8, 61 – 67.
- Godio A., Rege R.B.; 2015: The mechanical properties of snow and ice of an alpine glacier inferred by integrating seismic and GPR methods. *Journal of Applied Geophysics*, 115, 92-99.
- Haeberli F.; 1983: Frequency and characteristics of glacier floods in the Swiss Alps. *Annals of Glaciology*, 4(1), 85-90.
- Legchenko, A.; Vincent, C.; Baltassat, J.M.; Girard, J.F.; Thibert, E.; Gagliardini, O.; Descloitres, M.; Gilbert, A.; Garambois, S.; Chevalier, A.; Guyard, H. 2014: Monitoring water accumulation in a glacier using magnetic resonance imaging. *The Cryosphere*. 8: 155–166.
- Picotti S., Francese R., Giorgi M., Pettenati F., Carcione J.M.; 2017: Estimation of glacier thicknesses and basal properties using the horizontal-to-vertical component spectral ratio (HVSR) technique from passive seismic data, *Journal of Glaciology*, 63, 229-248.
- Podolskiy E.A., Walter F.; 2016: Cryoseismology, *Reviews of Geophysics*, 54 (4), 708.
- Vincent, C. et al. 2012. Detection of a subglacial lake in Glacier de Tête Rousse (Mont Blanc area, France). *Journal of Glaciology*, 58, 211, 866-878.



Alpamayo Cordigliera Blanca – Ande Peruviane – 5950 m